

Forclösningsnotater

K7M1060

hasten 2005

T. Helgaker

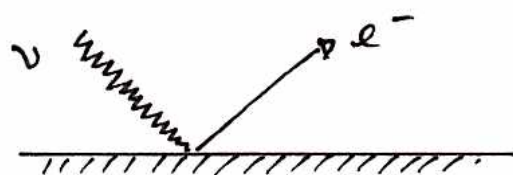
# Kapittel I: Balger og partikler

- I klassisk mekanikk skiller det skarpt mellom materie bestående av partikler og (elektromagnetisk) stråling beskrevet av balger
- Partikler:
- lokalisert i rommet
  - to partikler kan ikke være på samme sted
  - karakterisert ved energi  $E$  og bevegelsesmengde (driv)  $p$
  - følger Newtons lover
- Balger:
- delokalisert i rommet
  - flere balger kan være på samme sted og interferere:
- 
- karakterisert ved frekvens  $v$  (balgs pr. tidsenhet), bølgelengde  $\lambda$  (avstand mellom to toppar), og amplitud  $A$  (utslag)
- elektromagnetiske bølger følger Maxwell's ligninger

$$v\lambda = c = 299792458 \text{ m/s (vakuum)}$$

## Elektromagnetisk stråling og fotoner

- Når en metallplate bestråles, vil den kunne sende ut elektroner



- elektronenes kinetiske energi  $T$  avhenger kun av frekvensen  $\nu$ , ikke av strålings intensitet
- elektronene slås kun løs hvis  $\nu > \nu_0$

- Vi tolker denne fotoelektriske effekt ved å anta at strålingen består av partikler kalt fotoner
- hvort foton er en energipakke, med energi

$$E = h\nu \quad (\text{Einstein})$$

↳ Plancks konstant  $(6,626 \cdot 10^{-34} \text{ Js})$

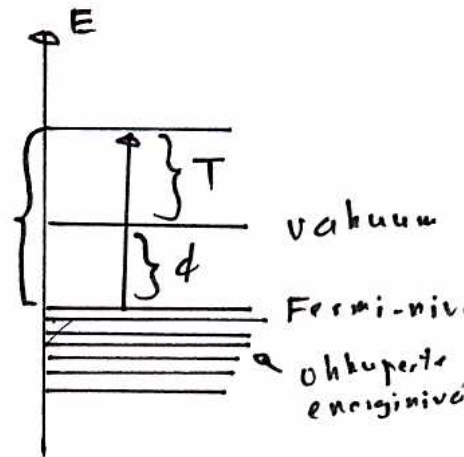
- Når fotonet slår et elektron løs, går noe av energien med til å frigjøre elektronet ( $\phi$ ), resten blir kinetisk energi ( $T$ ):

$$h\nu = \phi + T$$

worh  
funktion

kinetisk  
energi

$h\nu$



- elektroner observeres kun når  $h\nu > \phi$
- $\phi$  er karakteristisk for metallet

- I fotoelektronspktroskop (PES) anvendes den fotoelektriske effekt på molekyler

$$h\nu = I_i + T$$

ionisasjonspotensialer,  
karakteristiske for molekylet

## Fotoner (forts.)

(3)

→ Vi har sett at lys består av fotoner med energi  $E = h\nu$ , men hva er desses bevegelsesmengde?

→ La oss ta utgangspunkt i det klassiske uttrykket for bevegelsesmengden av en partikkel:

$$p = mv$$

- fotonets hastighet er gitt ved

$$v = c = \lambda\nu \quad (\text{konstant})$$

- fotonet har ingen hvilemasse, men vi kan benytte Einsteins generelle formel  $E = mc^2$ :

$$m = \frac{E}{c^2} = \frac{h\nu}{c^2}$$

- vi får da følgende uttrykk for et foton:

$$p = mv = \frac{h\nu}{c^2} c = \frac{h\nu}{c} = \frac{h}{\lambda}$$

→ Denne formelen ble betraktet av Compton i 1923, ved kollisjoner mellom fotoner og <sup>stillestående</sup> elektroner.

$$\begin{array}{ccc} p = h/(\lambda + \Delta\lambda) & & \\ p = h/\lambda & \xrightarrow{\text{Kompton}} & \Delta\lambda = \frac{h}{m_e c} (1 - \cos\theta) \\ \text{eeeeeeeeee} & & \downarrow e^-, mv \end{array}$$

- fotonets bølgelengdi øker (avhengig av  $\theta$ ), slik man vil forvente fra kravet om bevaring av energi og bevegelsesmengde i elastiske kollisjoner

→ Vi konkluderer at fotonets energi og bevegelsesmengde er gitt ved formlene

$$\boxed{E = h\nu, \quad p = h/\lambda}$$

## Partiklers bølgenatur

47

→ Hvis stråling har partikkelnatur, kan ikke da også partikler ha bølgenatur?

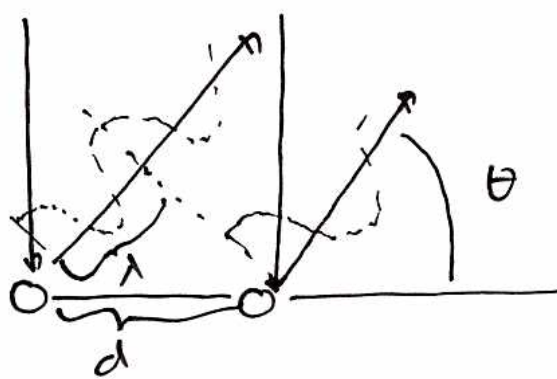
→ I 1924 foreslo de Broglie nettopp dette:  
alle partikler har en assosiert bølge,  
med bølgelengde

$$\boxed{\lambda = h/p} \leftarrow \text{de Broglies relasjon}$$

→ Dette uttrykket ble bekref tet av Davisson og Germer,  
som i 1927 påviste diffraksjon av elektroner

→ La oss tenke oss to elektroner, som kolliderer  
samtidig med to atomer:

- elektronene kan i prinsippet reflekteres i alle retninger
- i praksis reflekteres de kun i visse retninger  
der deres bølger interffererer Konstruktivt:



bølgelengde      avstand mellom  
 $\lambda = d \sin \theta$       atomer  
Spreddings  
vinde

→ hvis vi kjenner elektronens bevegelsesmengde p,  
kan vi også beregne  $\lambda$  og dermed avstanden  
mellom de to atomene, hvis vi har målt  $\theta$ .

→ Elektronendiffraksjon kan benyttes til å bestemme  
struktur av metaller og molekyler.

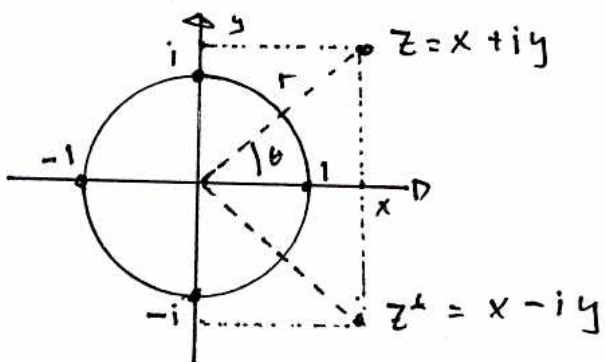
## Komplekse tall

→ Som en generalisering av reelle tall innfører vi komplekse tall:

$$z = x + iy, \quad i^2 = -1 \quad (\sqrt{i} = -1)$$

$x = \operatorname{Re} z$  reell del  
 $y = \operatorname{Im} z$  imaginær del

→ Det komplekse tallplan



$$z = x + iy$$

$$\Downarrow$$

$$z^* = x - iy$$

Kompleks-konjugasjon

→ absoluttverdi:

$$r = |z| = \sqrt{zz^*} = \sqrt{(x+iy)(x-iy)} = \sqrt{x^2 + y^2}$$

→ enhetssirkelen:

$$\cos \theta + i \sin \theta = e^{i\theta}$$

$$(e^{i\theta})^* = e^{-i\theta}, \quad |e^{i\theta}| = \sqrt{e^{it} e^{-it}} = 1$$

→ Eulers formel

$$\cos \theta = \frac{e^{i\theta} + e^{-i\theta}}{2}, \quad \sin \theta = \frac{e^{i\theta} - e^{-i\theta}}{2i}$$

→ polar form

$$x + iy = r e^{i\theta}$$

$$r = \sqrt{x^2 + y^2}$$

$$\theta = \arctan \frac{x}{y}$$

## Bølgefunksjonen for en fri partikkel i én dimensjon

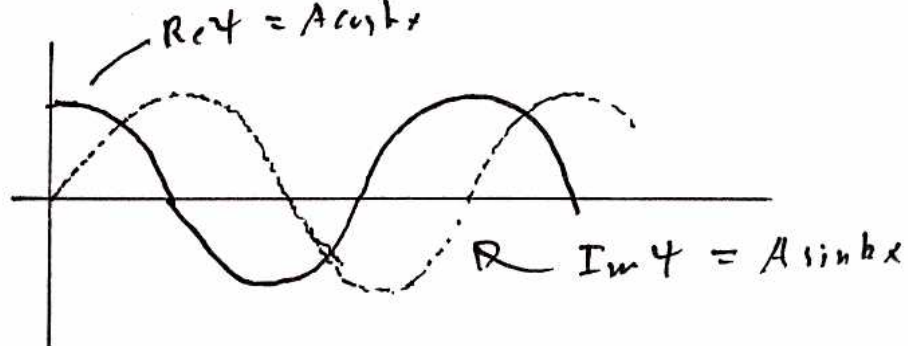
(6)

- En partikkel beveger seg fritt langs  $x$ -aksen, med konstant (kjent)  $p$  og ukjent  $\lambda$
- Ifølge de Broglie kan vi med denne partikken assosiere en bølge med bølgelengde  $\lambda = h/p$
- Vi kan skrive denne bølgefunksjonen som

$$\psi = A e^{ihx} = A (\cos kx + i \sin kx)$$

$\leftarrow$  amplitude vinkelbølgetall, bølgvektør

- a)  $\psi$  er kompleks, med en reell og en imaginær komponent



↳  $\psi$  er periodisk, med periode  $\lambda$ :

$$\begin{aligned}\psi(x+\lambda) &= \psi(x) \Rightarrow \cos(hx + h\lambda) = \cos hx \\ &\Rightarrow h\lambda = 2\pi \Rightarrow \boxed{h = 2\pi/\lambda}\end{aligned}$$

- Bevegelsesmengden er gitt ved

$$n = \frac{h}{\lambda} = \frac{h}{2\pi} \frac{2\pi}{\lambda} = \frac{h}{\lambda} k \checkmark \text{Vi kaller } k \text{ bølgetall}$$

$$\hbar = h/2\pi \leftarrow \text{Diracs konstant}$$

- $\psi$  er uavhengig av  $t$ , da situasjonen ikke endres seg med tiden

- hvor er partikken?
- hva er  $A$ ?

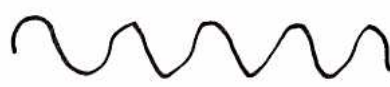
## Fri partikkel (forts.)

$$\psi = A e^{i k x}, \quad k = 2\pi/\lambda$$

→ Hva er partiklens kinetiske energi?

$$T = \frac{1}{2}mv^2 = \frac{p^2}{2m} \text{ (klassisk)} \quad \left. \begin{array}{l} p = \frac{\hbar}{\lambda} = \hbar k \text{ (de Broglie)} \end{array} \right\} \Rightarrow T = \frac{\hbar^2 k^2}{2m} = \frac{\hbar^2}{2m\lambda^2}$$

— kinetisk energi er relativt til brunning-av balget.

 → høy kinetisk energi

 → lav kinetisk energi

→ I hvilken retning beveger partiklen seg?

— hvis  $p > 0$  svarer til bevegelse mot høyre,  
så svarer  $p < 0$  til bevegelse mot venstre

— la oss sammenligne de to balgefunktjonene:

$$\psi_+ = A e^{ikx} = A \cosh kx + i A \sinh kx$$

$$\psi_- = A e^{-ikx} = A \cosh kx - i A \sinh kx$$

dor vi har brukt  $\cos(-y) = \cos y$ ,  $\sin(-y) = -\sin y$

— de to bevegelsesretningene har ulik fase mellom den reelle og imaginære komponenten av balgefunktjonen

— informasjon om bevegelsesretning krever en kompleks balgefunksjon

## Bornus interpretasjon

→ Bølgefunktjonen er en abstrakt størrelse og kan ikke observeres direkte.

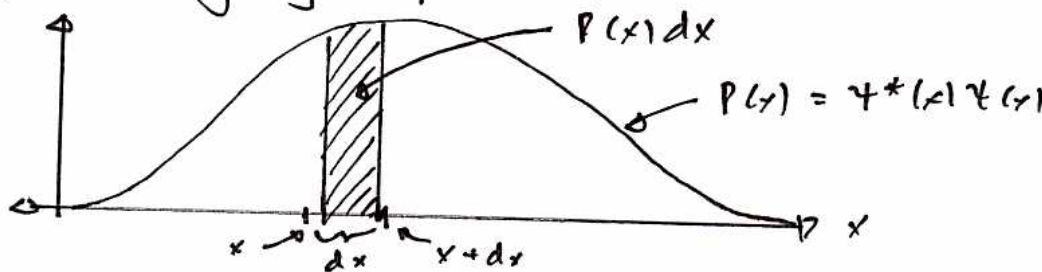
→ I 1926 ga Max Born følgende tolking av bølgefunktjonen:

Hvis  $\psi(x)$  er partiklen, bølgefunktjon, så er sannsynligheten for å finne den i et lite intervall mellom  $x$  og  $x+dx$  proporsjonal med  $\psi^*(x) \psi(x) dx$ .

→ Bemerk: Selv om  $\psi(x)$  er kompleks, så er alltid  $\psi^*(x) \psi(x)$  et ikke-negativt reelt tall:

$$P(x) = \psi^*(x) \psi(x) \geq 0$$

→ Vi kaller  $P(x)$  partikkens sannsynlighetsstetthet (dvs. sannsynlighet pr. lengde enhet)



→ For en fri partikkels er  $P(x)$  konstant:

$$P(x) \approx \psi^* \psi = (A e^{ikx})^* (A e^{ikx}) = A^* e^{-ikx} A e^{ikx} = A^* A$$

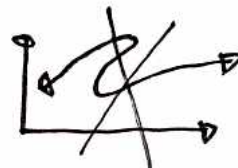
-dvs: sannsynligheten for å finne partikken er den samme overalt

→ Bemerk:  $P(x)$  sier oss kun hva sannsynligheten er for å finne partikken et sted; den sier intet om hvor partikken er for den blir funnet!

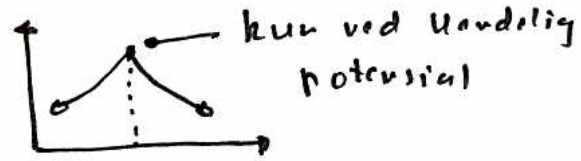
## Noen egenskaper av valgfunksjonen

- Generelt er valgfunksjonen for en partikkel en funksjon av 3 romkoordinater og av tiden  $\psi(x, y, z, t)$
- Vi skal kun studere stasjonære tilstander, dvs. systemer der sannsynlighetsstettheten ikke endrer seg med tiden
  - slike tilstander beskrives av tidsavhengige valgfunksjoner  $\psi(x, y, z)$
  - bemerk: partiklen beveger seg også i en stasjonær tilstand men slik at sannsynlighetsstettheten er konstant
- For at en funksjon skal kunne være en valgfunksjon, må den oppfylle visse krav:

1)  $\psi(x)$  må være entydig



2)  $\psi(x)$  og  $\psi'(x)$  må være kontinuert [unntak:  $\psi'(x)$  kan være diskontinuert ved uendelig potensial]



3)  $\psi(x)$  skal være kvadratisk integrabel:

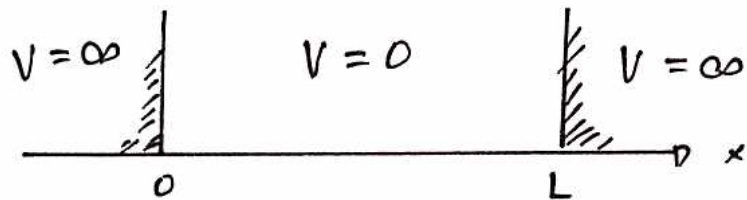
$$\int \psi^*(x) \psi(x) dx = \int P(x) dx = 1$$

[vi har dermed sett sannsynligheten for å finne partiklen ett eller annet sted til 1]

- bemerk: dette kravet frafaller for fri partikler

## Kapittel 2: Partikkel i en endimensjonal boks

→ La oss tenke oss en partikkel som er begrenset til en "endimensjonal boks"  $0 \leq x \leq L$  fordi potensialt er uendelig utenfor boksen



→ Da partiklen ikke kan være utenfor boksen, må balgefunktjonen være null der.

→ Vi må derfor bestemme,  $\psi(x)$  i boksen  $0 \leq x \leq L$  under betingelsene

$$\psi(0) = \psi(L) = 0$$

— kravet om en kontinuerlig balgefunktjon gir to grensbedingelser

→ Disse grensbedingelsene utelukker samme balgefunktjon som for en fri partikkel da

$$\psi_{\pm} = A e^{\pm ikx} = A \cos kx \pm i A \sin kx \neq 0$$

— dette er ikke så underlig da disse balgefunktjonene svarer til tilstander der partiklen hele tiden beveger seg i samme retning

→ Klassisk tenker vi oss at partiklen beveger seg i begge retninger med samme sanntsynlighet  
— vi produser derfor en balgefunktjon av formen

$$\psi = A e^{ikx} \pm A e^{-ikx}$$

## Partikklet i boks (forts.)

→ For å oppfylle betingelsen  $\psi(0) = 0$  må vi velge

$$\begin{aligned}\psi(x) &= A(e^{ikx} - e^{-ikx}) \\ &= 2Ai \sin kx = N \sin kx \quad (N = 2Ai)\end{aligned}$$

→ Den andre betingelsen gir nå

$$\psi(L) = N \sin kL = 0 \Rightarrow$$

$$k = n\pi/L, \quad n = 0, \pm 1, \pm 2, \dots$$

→ Vi har nå en rektangulær valgfunktjoner

$$\psi_n(x) = N \sin\left(\frac{n\pi x}{L}\right), \quad n = 1, 2, 3, \dots$$

Bemerk:  $n = 0$  er utelukket da valgfunktjonen da ville være 0.  
 $n < 0$  er utelukket da det gir samme løsning som  $n$  (ved justering av  $N$ )

→ Hva er energien for disse tilstøyndene?

- kinetisk energi:

$$T = \frac{\hbar^2 k^2}{2m} = \frac{\hbar^2 (n\pi)^2}{(2\pi)^2 2m L^2} = \frac{n^2 \hbar^2}{8m L^2}$$

- vi har ingen potensiell energi

- total energien er da gitt ved

$$E_n = \frac{n^2 \hbar^2}{8m L^2}, \quad n = 1, 2, 3, \dots$$

→ Kun visse energier er tillatt!

- energien sies å være kvantisert  
(øga grensetettingene)

-  $n$  kallas et kvantetal

## Partikkel i boks : normering av belgefunktjonen

→ Belgefunktjonen er gitt ved

$$\psi_n(x) = N \sin\left(\frac{n\pi x}{L}\right), \quad n = 1, 2, \dots$$

der  $N$  kalles normeringskonstanten.

→ Vi bestemmer  $N$  ved å kreve at sannsynligheten for å finne partikken ett eller annet sted i boksen er lik en:

$$\int_0^L \psi_n^*(x) \psi_n(x) dx = 1$$

→ Innsett gir dette

$$N^2 \int_0^L \sin^2\left(\frac{n\pi x}{L}\right) dx = 1$$

→ Ved å benytte relasjonen  $\sin^2 x = \frac{1}{2}(1 - \cos 2x)$ , finner vi

$$\begin{aligned} \int_0^L \sin^2\left(\frac{n\pi x}{L}\right) dx &= \frac{1}{2} \int_0^L [1 - \cos\left(\frac{2n\pi x}{L}\right)] dx \\ &= \frac{1}{2} \int_0^L dx = \frac{1}{2} L \end{aligned}$$

Regir 0 ved integrasjon

→ Normeringskoeffisienten gir da

$$\frac{1}{2} N^2 L = 1 \Rightarrow N = \sqrt{\frac{2}{L}}$$

som gir belgefunktjonen

$$\underline{\psi_n(x) = \sqrt{\frac{2}{L}} \sin\left(\frac{n\pi x}{L}\right)}$$

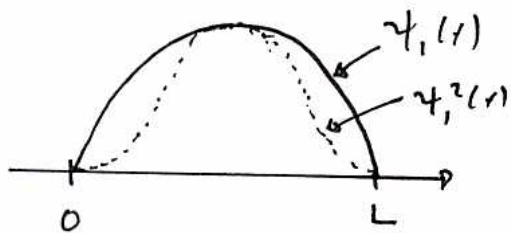
# Partikkelen i boks: bølgefunktionser og energinivåer

(13)

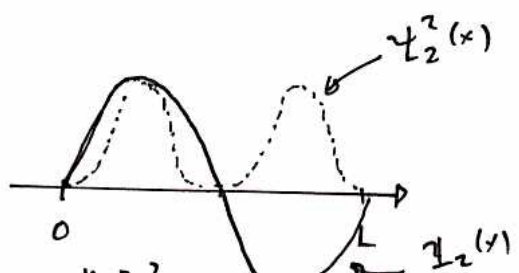
$$\psi_n(x) = \sqrt{\frac{2}{L}} \sin\left(\frac{n\pi x}{L}\right), \quad 0 \leq x \leq L, \quad n = 1, 2, \dots$$

$$E_n = \frac{n^2 h^2}{8\mu L^2}$$

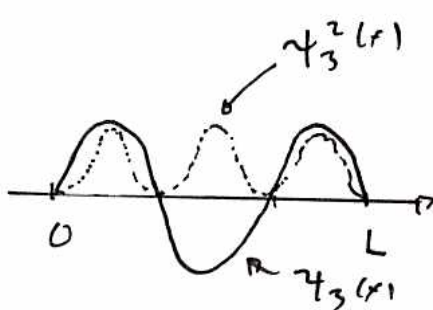
$$E / \frac{h^2}{8\mu L^2}$$



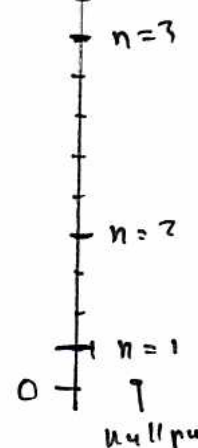
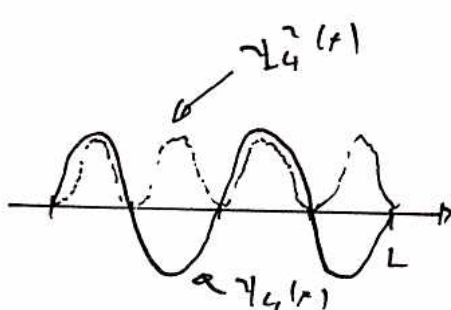
$n=1$  (grunn tilstand)



$n=2$  (første eksitede tilstand)



$n=3$  (andre eksitede tilstand)



→ stående bølger med bølgelengde  $\lambda = 2L/n$

$n-1$  noder (punkt der bølgefunktjonen skifter fortegn)

$n$  antinoder (bølgeturm eller bølgeluun)

→ energien er kvantisert  $E_n = n^2 h^2 / 8\mu L^2, n = kvantetall$

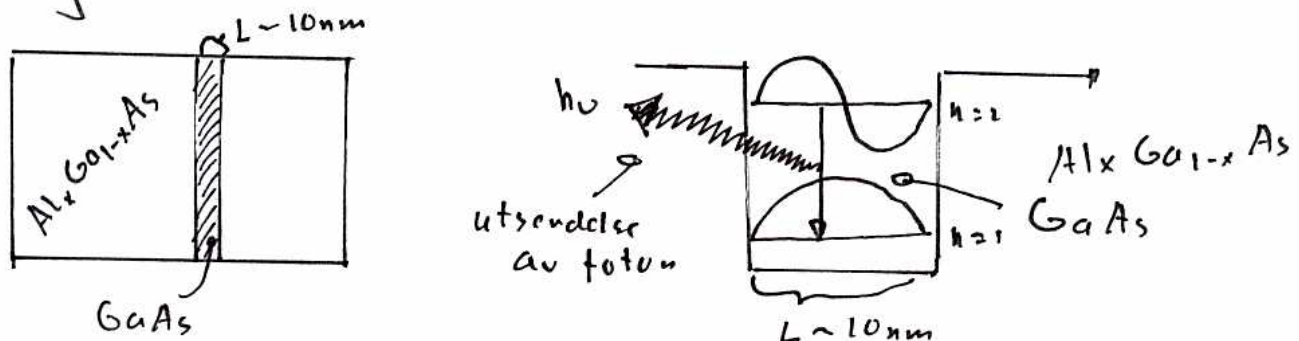
- øker med økende kvantetall  $n$

- avtar med økende  $m$  og  $L$

→ systemet har nullpunktsenergji ( $h^2 / 8\mu L^2$ ), som det er umulig å fjerne

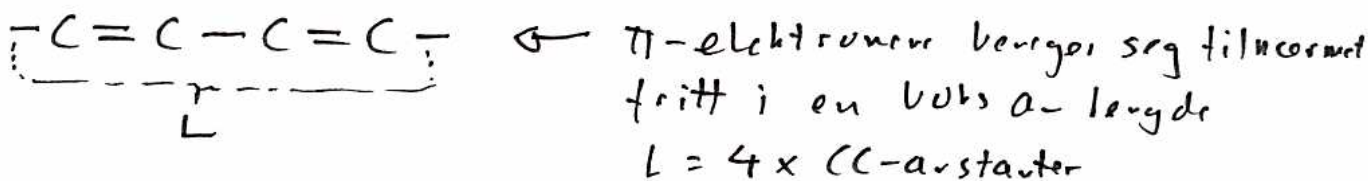
## Partikkel i boks: eksempler

- a) En kvantekrøn dannes ved å innsette et tynt lag av en halvleder inn i en annen halvleder

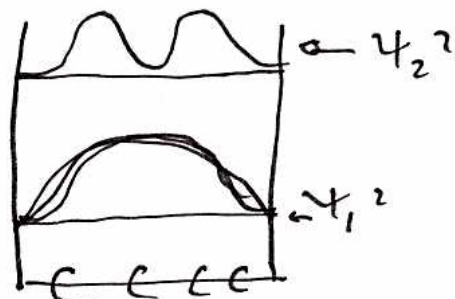
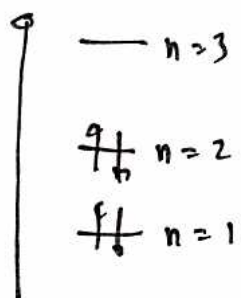


- elektroner holdes i kvantekrønen da potensialet der ( $\text{GaAs}$ ) er lavere enn utefor ( $\text{Al}_x\text{Ga}_{1-x}\text{As}$ )
- energinivåene i kvantekrønnen svarer til nivåene for en partikkel i boks, hvis vi bergher en effektiv masse ( $m_x = 0.067m_e$ )
- ved å tilpasse  $L$  kan overganger svarende til ulike frekvenser dannes - viktig teknologisk

- b)  $\pi$ -elektronssystemer i konjugerte lineære molekyler



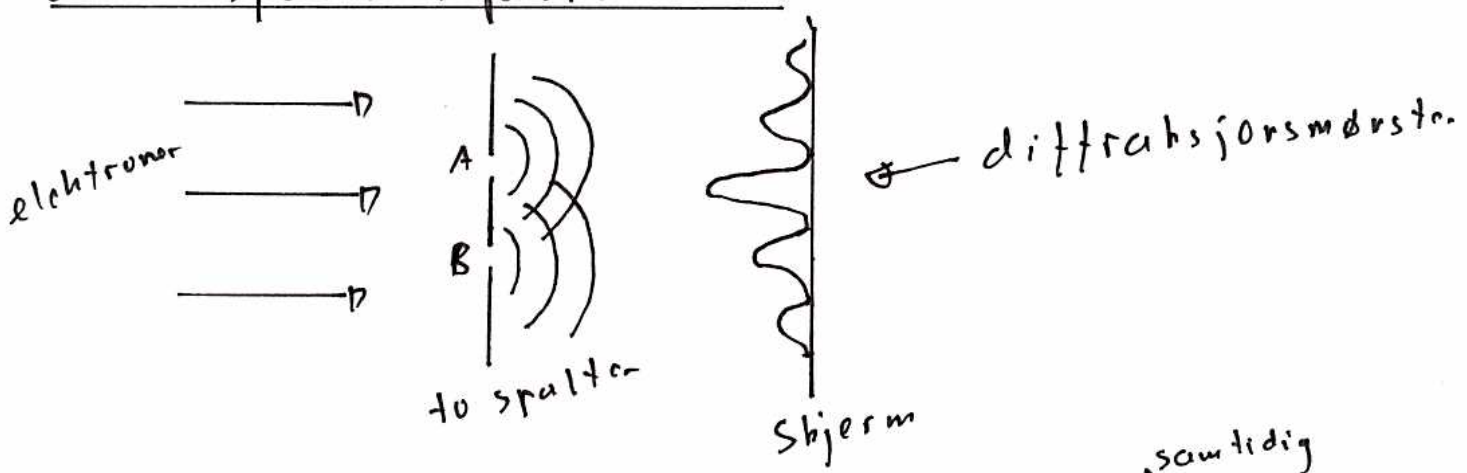
- energinivåene for  $\pi$ -elektronene svarer til nivåene for en partikkel i boks
- hvart nivå har omtrentlig 40 elektroner, med motsatt spinn



## Kapittel 3: Usikkerhetsprinsippet

(15)

### dobbeltspalteeksperimentet



- en strøm av elektroner som sendes gjennom de to åpne spaltene dannar et diffraksjonsmønster, på samme måte som bølger
- hvis vi sender ett elektron av gangen, finner vi
  - gj) hvor et elektron treffer skjermen på ett sted og dannar en prikk
  - ↳ etter lang tid vil disse prikkene dannar akkurat det samme diffraksjonsmønster som dannes av mange samtidige elektroner.  
Bemerk: dette mønsteret dannar ikke hvis vi før hver elektron kubber en av spalteene
- konklusjon:
  - hvor et elektron går gjennom begge spalter og干涉erer med seg selv
  - gj) vi kan ikke forutsi bevegelsen av hver enkelt partikkel
  - ↳ vi kan si noe statistisk om bevegelsen av mange partikler

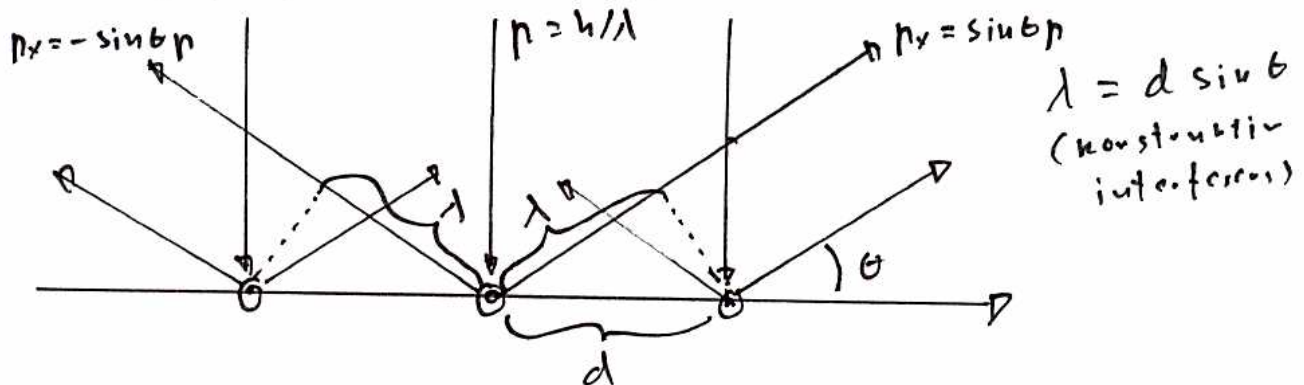
## Usikkerhet i posisjon og bevegelsesmengde

→ klassisk fysikk er deterministisk:

$x_0, p_0$  kjent ved  $t=0 \Rightarrow x(t), p(t)$  alltid kjent  
(med vilkårlig nøyaktighet)

→ kvantmekanikken er ikke deterministisk

— pga partikklenes bølgenatur kan vi ikke spesifisere  
 $x$  og  $p$  presist samtidig, ved noe tidspunkt



g) usikkerhet i posisjon ved diffasjon (langs x-aksen)

$\Delta x \sim d$  (ellers ville partikken ikke kunne ha interferert med sng solen)

h) usikkerhet i bevegelsesmengde langs x-aksen

$$\Delta p_x \approx p \sin \theta = \frac{h}{\lambda} \frac{1}{d} = \frac{h}{d}$$

(fordi partikken har spres i to retninger,  $p_x = \pm \sin \theta p$ )

i) produkt av de to usikkerhetene:

$$\Delta x \Delta p_x \sim h \leftarrow \text{Plancks konstant}$$

→ produktet av usikkerhetene i posisjon og bevegelsesmengde  
er uavhengig av detaljene i systemet — det  
involverer kun en naturkonstant!

## Heisenbergs usikkerhetsprinsipp

(17)

- La oss beregne  $\Delta x$  og  $\Delta p_x$  for en partikkelt i boks
- Usikkerhet i posisjon

$$\Delta x = L/2, \text{ } L \text{ er boksenes lengde}$$

- Usikkerhet i bevegelsesmengde

$$E = \frac{n^2 \hbar^2}{8mL^2} \& E = \frac{p_x^2}{2m} \Rightarrow p_x = \pm \frac{\hbar k}{2L} \Rightarrow \Delta p_x = \frac{\hbar k}{2L}$$

- produktusikkerhet

$$\Delta x \Delta p_x = \cancel{\frac{1}{2} \hbar^2 k^2} + nh \leftarrow \begin{array}{l} \text{uavhengig av } L, \\ \text{minst i grunn tilstanden} \end{array}$$

- Generelt gjelder for alle systemer

$$\boxed{\Delta x \Delta p_x \geq \frac{\hbar}{2}} \leftarrow \text{Heisenbergs usikkerhetsrelasjon}$$

- Vi kan ikke spesifisere samtidig og med vilkårlig nøyaktighet en partikkels posisjon og bevegelsesmengde
- Usikkerhetsrelasjonen er en fundamental øgrenstap ved naturen og ikke et resultat av undgåelige målinger (unøyaktig apparater o.l.)

- Nullpunktenergien for en partikkelt i boks kan ikke faststøttes spesielt i lys av usikkerhetsrelasjonen

$$E = \frac{n^2 \hbar^2}{8mL^2} > 0 \text{ for alle tilstander}$$

- hvis  $E=0$ , så måtte vi konkludert at  $p_x=0$

$$(\text{da } E=p^2/2m), \text{ dus } \Delta p_x = 0$$

- da  $\Delta x = L/2$ , vil vi videre få at

$$\Delta x \Delta p_x = 0 \leftarrow \text{i uoverensstemmelser med usikkerhetsrelasjonen}$$

- en partikkelt kan ikke ligge i ro i boksen pga usikkerhetsrelasjonen, dus  $E > 0$  alltid

### a) fri partikkel

$$\psi = A e^{ikx} \Rightarrow P(x) dx = \psi^* \psi dx = A^2 dx$$

- alle punkter er like sannsynlige:

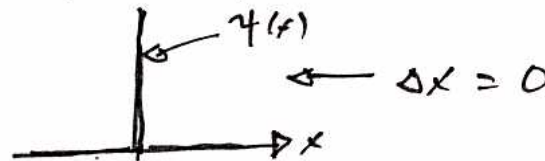
$\Delta x = \infty \leftarrow$  uendelig usikkerhet, helt delokalisiert partikkel

- bevegelsesmengden kjennes eksakt:

$$p_x = \hbar k \Rightarrow \Delta p_x = 0$$

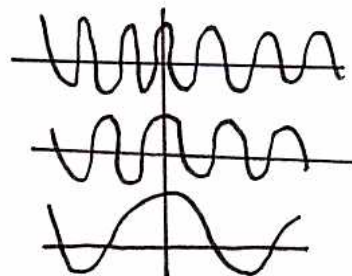
### b) lokalisiert partikkel

- vi kjenner partikkens posisjon eksakt



- vi kan lage en slik valgefunktjon ved å superponere valger  $\cos kx$  med alle mulige verdier av  $k$

valgene vil interferere konstruktivt ved  $x=0$  → og destruktivt all andre steder.



- disse valgene har alle mulige ~~p~~ bevegelsesmengder og dermed alle mulige bevegelsesmengder:

$$\Delta p_x = \infty$$

	$\Delta x$	$\Delta p_x$	
frei partikkel	0	$\infty$	$\Delta x \Delta p_x \geq \hbar/2$
lokalisiert partikkel	$\infty$	0	

## Schrödinger-ligningen

- de Broglies relasjon  $\lambda = h/p$  kan kun brukes til å bestemme valgetfunksjonen i enkle situasjoner (konstant potensial, én dimensjon)
- mer generelt må valgetfunksjonen bestemmes fra en differentiell ligning, som kan tenkes fremkomme som følger:
- 9) alle valgetfunksjoner til nå har vært løsninger av følgende annenordens differentiell ligning (valgeliqning):

$$\frac{d^2\psi}{dx^2} = -k^2\psi, \quad k = 2\pi/\lambda \quad \text{sje hh dette for } e^{ikx}, \cos kx, \sin kx$$

- ↳ fra de Broglies relasjon  $\lambda = h/p$  følger:

$$p = \frac{h}{\lambda} = \frac{h}{2\pi} \frac{2\pi}{\lambda} = \hbar k \Rightarrow T = \frac{p^2}{2m} = \frac{\hbar^2 k^2}{2m} \Rightarrow k^2 = \frac{2mT}{\hbar^2}$$

Vi kan da skrive differentiellligningen over som

$$\frac{d^2\psi}{dx^2} = -\frac{2mT}{\hbar^2}\psi \Rightarrow -\frac{\hbar^2}{2m} \frac{d^2\psi}{dx^2} = \underbrace{T\psi}_{\text{kinetisk energi}}$$

- ↳ hvis potensialet  $V(x)$  endres seg med  $x$ , så er totalenergien

$$E = T + V(x)$$

og ikke den kinetiske energi konstant, og vi skriver

$$-\frac{\hbar^2}{2m} \frac{d^2\psi}{dx^2} = (E - V(x))\psi$$

- dette er Schrödingers ligning i én dimensjon:

$$-\frac{\hbar^2}{2m} \frac{d^2\psi}{dx^2} + V(x)\psi = E\psi$$

(1926)

- en fundamental kvantmekanisk ligning, som ikke kan utledes av andre, "mer" fundamentale ligninger
- ligningen rettfordiggjøres ikke ved utledning, men ved at den stemmer med virkeligheten

## Harmonisk oscillator: klassisk beskrivelse

20

→ Vi tenker oss en partikkel med masse  $m$  som vibrerer om  $x = 0$  på  $x$ -aksen

→ kraften er proporsjonal med utslaget

$$F = -kx \quad \begin{matrix} \leftarrow \text{Hooke's lov} \\ \leftarrow \text{kraftkonstanten} \end{matrix} \quad \begin{matrix} \text{kraften trekker alltid} \\ \text{partikken tilbake til origo} \end{matrix}$$

→ Newtons annen lov:

$$F = ma \Rightarrow -kx = m \frac{d^2x}{dt^2} \quad \begin{matrix} \leftarrow \text{annenordens} \\ \text{differensiell ligning} \end{matrix}$$

→ en løsning av denne ligningen er gitt ved

$$x(t) = A \sin(\sqrt{\frac{k}{m}}t), \quad A = \text{amplitude}$$

– dette kan lett vises ved å derivere  $x(t)$  to ganger

$$x'(t) = \sqrt{\frac{k}{m}} A \cos(\sqrt{\frac{k}{m}}t)$$

$$x''(t) = -\frac{k}{m} A \sin(\sqrt{\frac{k}{m}}t) = -\frac{k}{m} x(t)$$

→ partikken oscillerer, med periode (tid for hver svingning)

$$\tau = 2\pi \sqrt{\frac{m}{k}} \quad \leftarrow \text{sjekk at } x(t+\tau) = x(t)$$

→ Vibrasjonsfrekvensen  $\nu$  er antall svingninger pr. tidsenhet:

$$\nu = \tau^{-1} = \frac{1}{2\pi} \sqrt{\frac{k}{m}}$$

– frekvensen øker med kraftkonstanten  $k$  og avtar med  $m$

– frekvensen er uavhengig av amplituden  $A$

## Harmonisk oscillator: kvantemekanisk beskrivelse

→ Bølgefunktjonen skal oppfylle Schrödinger-ligningen

$$-\frac{\hbar^2}{2m} \frac{d^2\psi}{dx^2} + V(x)\psi = E\psi$$

der massen  $m$  og potensialet  $V(x)$  avhenger av systemet.

→ Potensialet er generelt relatert til kraften som

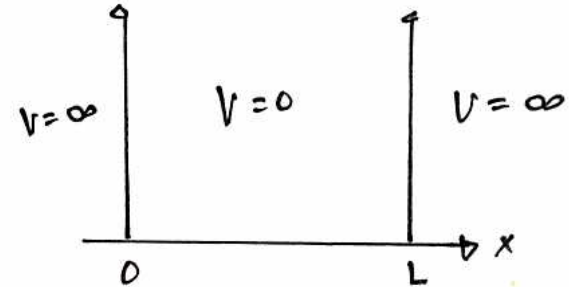
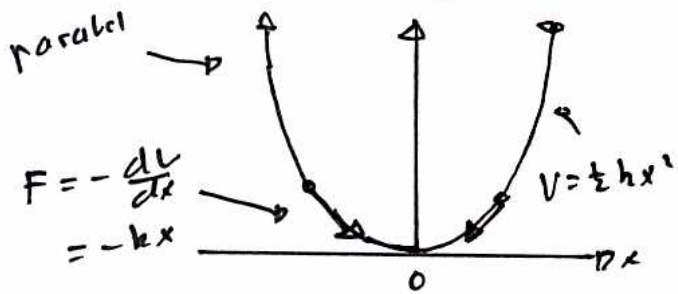
$$F = -\frac{dV(x)}{dx} \quad \leftarrow \text{relasjon mellom kraft og pot.}$$

→ For en harmonisk oscillator (HO) er kraften gitt ved Hookes lov

$$F = -kx \quad \leftarrow \text{kraft proporsjonal med utslaget}$$

→ Vi kan derfor skrive potensialt som

$$V(x) = \frac{1}{2}kx^2 \quad (\text{harmonisk potensial})$$



Sml. av harmonisk pot. med partikkel i boks

→ Dette gir følgende Schrödinger-ligning for en harmonisk oscillator

$$-\frac{\hbar^2}{2m} \frac{d^2\psi}{dx^2} + \frac{1}{2}kx^2\psi = E\psi$$

som skal løses med grensbeltingelse

$$\lim_{x \rightarrow \pm\infty} \psi(x) = 0 \quad \leftarrow \text{kvadratisk integrator}$$

# Løsning av Schrödinger-ligningen (H0)

(22)

→ For Schrödinger-ligningen

$$-\frac{\hbar^2}{2m} \frac{d^2\psi}{dx^2} + \frac{1}{2} kx^2 \psi = E\psi$$

versøker vi produktfunksjonen

$$\psi_0 = N_0 e^{-ax^2}, \quad a > 0 \quad \leftarrow \text{må bestemme } a$$

→ Derivasjon gir

$$\frac{d\psi_0}{dx} = N_0 \frac{d}{dx} e^{-ax^2} = -2ax N_0 e^{-ax^2} = -2ax \psi_0$$

$$\frac{d^2\psi_0}{dx^2} = -2a \frac{d}{dx} (x \psi_0) = -2a\psi_0 - 2ax \frac{d\psi_0}{dx} = (4a^2x^2 - 2a)\psi_0$$

→ Innsatt i Schrödinger-ligningen gir dette:

$$-\frac{\hbar^2}{2m} (4a^2x^2 - 2a)\psi_0 + \frac{1}{2} kx^2 \psi_0 = E_0 \psi_0$$

– vi dividerer nå med  $\psi_0$  på begge sider og omordner liH:

$$\left(-\frac{2a^2\hbar^2}{m} + \frac{1}{2}k\right)x^2 = E_0 - \frac{\hbar^2a}{m}$$

– for at denne ligningen skal gjelde for alle verdier av  $x$ , må begge sider være null:

$$-\frac{2a^2\hbar^2}{m} + \frac{1}{2}k = 0 \quad \& \quad E_0 - \frac{\hbar^2a}{m} = 0$$

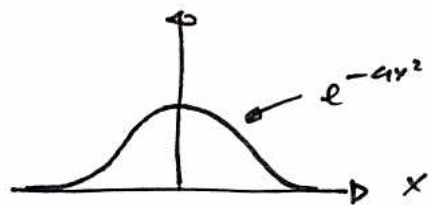
||

$$a = \frac{\sqrt{mk}}{2\hbar} \quad \& \quad E_0 = \frac{\hbar^2a}{m} = \frac{1}{2}\hbar\sqrt{\frac{k}{m}}$$

→ Vi har dermed bestemt følgende løsning:

$$\psi_0 = N_0 e^{-\frac{\sqrt{mk}}{2\hbar}x^2}, \quad E_0 = \frac{1}{2}\hbar\nu, \quad \nu = \frac{1}{2\pi}\sqrt{\frac{k}{m}}$$

– dette må være grunntilstanden, da den ikke har noen noder

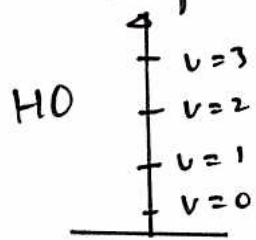


## Harmonisk oscillator: generell lasning

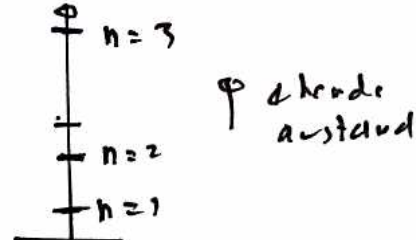
→ En generell lasning av Schrödinger-ligningen gir følgende energinivåer:

$$E_v = (v + \frac{1}{2}) \hbar \nu, \quad v = \frac{1}{2\pi} \sqrt{\frac{k}{m}}, \quad v = 0, 1, 2, \dots$$

- nullpunktenergi tilsv (usikkerhetsrelasjonsprinc)
- konstant avstand mellom energinivåene  $\hbar \nu$
- smt. med partikkel i bølgs



$$E_v = (v + \frac{1}{2}) \hbar \nu$$



$$E_n = \frac{n^2 \hbar^2}{8 \pi^2 L^2}$$

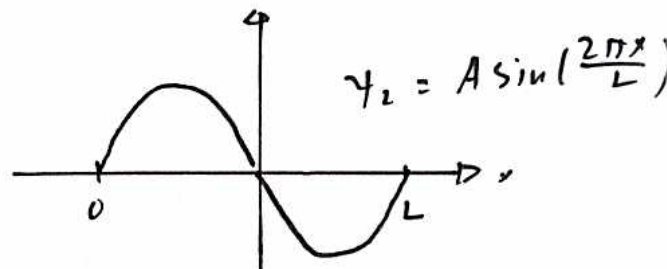
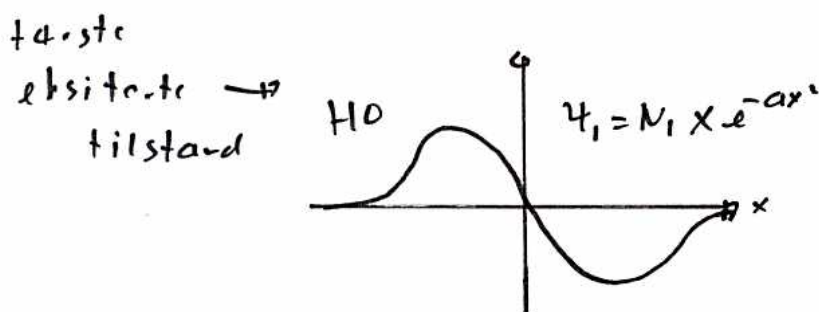
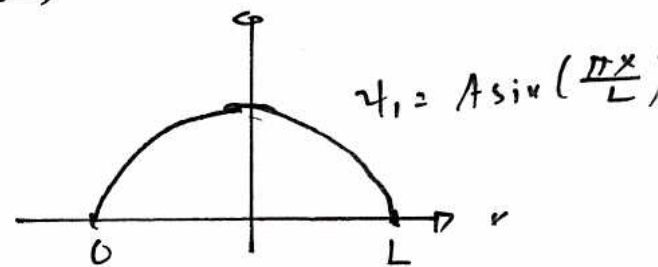
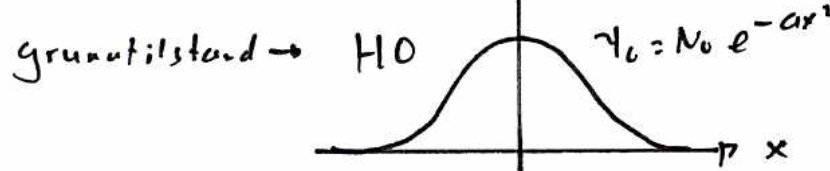
→ Bølgefunksjonen er gitt ved

$$\psi_v(x) = N_v H_v(\sqrt{2}ax) e^{-ax^2}, \quad a = \frac{\sqrt{\hbar \nu}}{2\hbar}, \quad v = 0, 1, 2, \dots$$

- Hermite-polynomer

$$H_0(x) = 1, \quad H_1(x) = 2x, \quad H_2(x) = 4x^2 - 2$$

- smt. med partikkel i bølgs



- samme nodestruktur som for partikkel i bølgs, men  $\psi_v(x) \neq 0$  også for stor |x|.

## Harmonisk oscillator: klassisk forbudte områder

→ For en klassisk HO partikkel er totalenergien

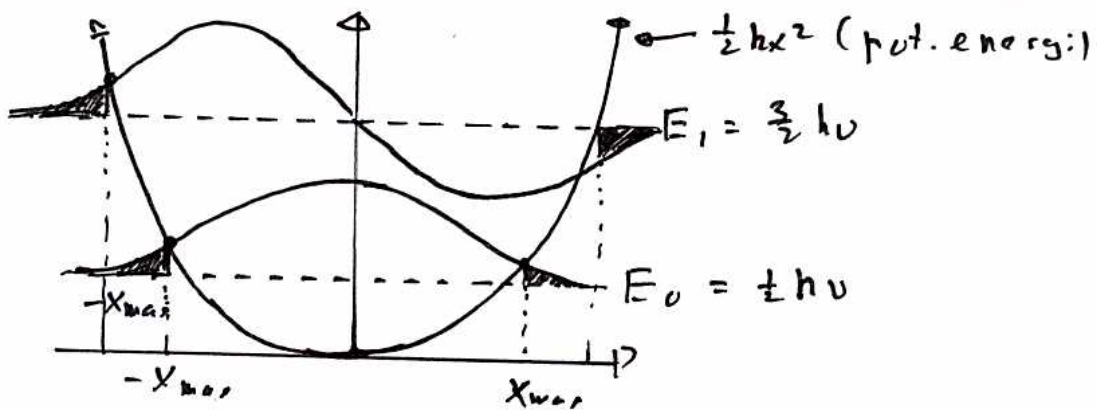
$$E = \frac{1}{2}mv^2 + \frac{1}{2}kx^2 \quad (\text{kin.} + \text{pot. energi})$$

→ Partiklen snur når den kinetiske energien er null:

$$E = 0 + \frac{1}{2}kx_{\max}^2 \Rightarrow x_{\max} = \sqrt{\frac{2E}{k}} \leftarrow \underline{\text{Vendepunkt}}$$

→ Klassisk er partiklen alltid i området  $-x_{\max} \leq x \leq x_{\max}$

→ En kvantmekanisk HO partikkel kan derimot også befinner seg i de klassiske forbudte områdene (skavret):



→ Hvordan kan partiklen befinner seg i klassiske forbudte områder?

Svar: 1) partiklen befinner seg ikke et spesielt sted før vi måler posisjonen  $x$

2) ved en slik måling endres valgfunktjonen kraftig og det innførs en stor usikkerhet (usharpheten) i energien slik at problemet med negativ kinetisk energi forsvinner

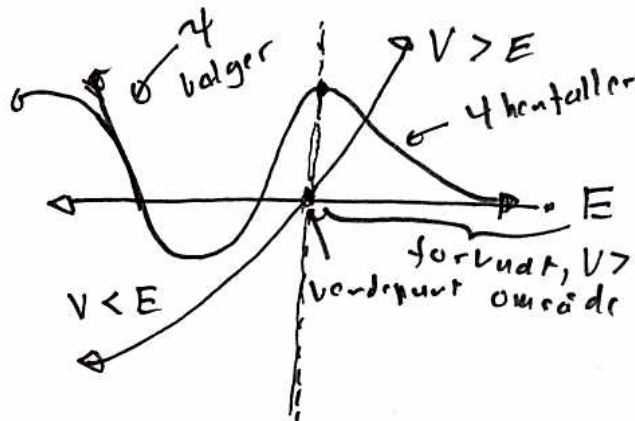
→ Valgfunksjoner krummer ulikt i tillatte og forbudte områder:

$$-\frac{\hbar^2}{2m}\psi''(x) = (E - V(x))\psi(x)$$

↓

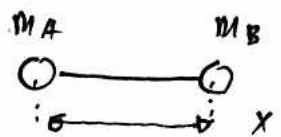
a)  $\psi''$  og  $\psi$  har motstående fortegn i klassisk tillatt område

b)  $\psi''$  og  $\psi$  har samm. fortegn i klassisk forbudt område



## Vibrasjoner av diatomer

- I et diatom holdes atomene sammen av en kraft som (til en god approksimasjon) er proporsjonal med avviket fra likevertsbindingsavstanden  $r_e$



$$F = -kx \quad \begin{matrix} \text{Hooke's law} \\ \text{kraftkonstanten} \end{matrix}$$

- Schrödinger-ligningen for vibrasjonsbørgelsen er da

$$-\frac{\hbar^2}{\mu} \frac{d^2\psi}{dx^2} + \frac{1}{2} kx^2 \psi = E \psi, \quad \mu = \frac{m_A m_B}{m_A + m_B}$$

der vi har inført den reduserte masse  $\mu$ .

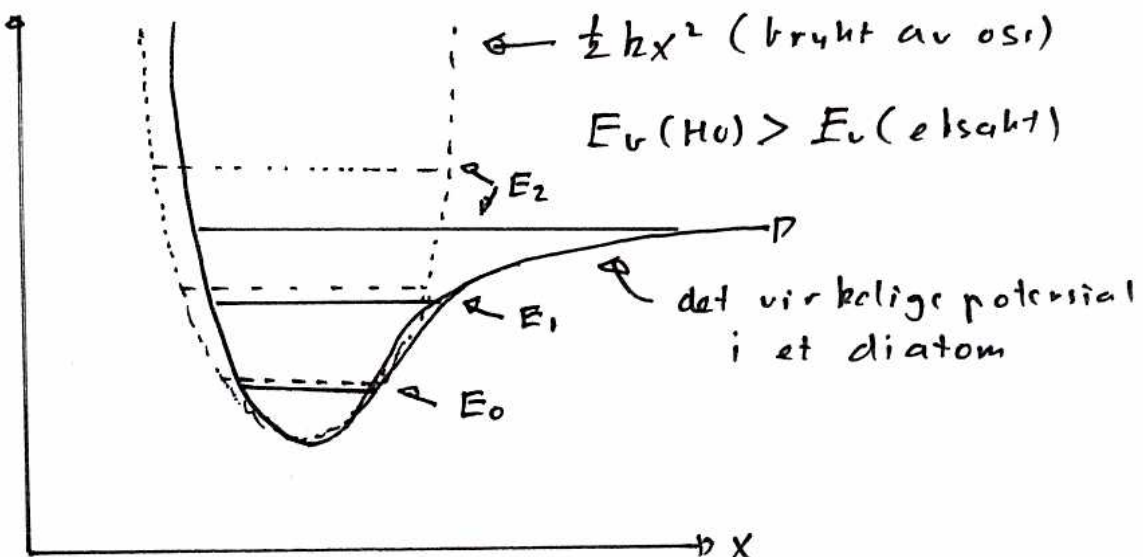
— Bemerk: dette er HO-ligningen for en fiktiv partikkel med masse  $\mu = m_A m_B / (m_A + m_B)$

- Løsning av Schrödinger-ligningen gir

$$E_v = (v + \frac{1}{2}) \hbar \omega_0, \quad v = 0, 1, 2, \dots \quad \omega_0 = \frac{1}{2\pi} \sqrt{\frac{k}{\mu}}$$

$$\psi_v = N_v H_v (\sqrt{2a} \times) e^{-ax^2}, \quad a = \frac{\sqrt{\mu}}{2\hbar}$$

- Disse energiene og bolgefunktjonene avviker litt fra de eksakte løsningene da virkelige potensial ikke er helt harmonisk



## Infrarøde spektra (forts.)

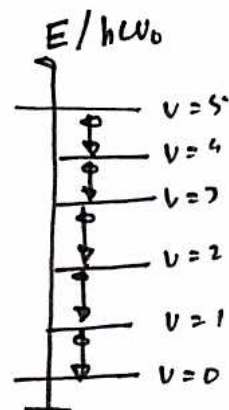
→ Når et molekyl bestråles, kan det opppta (absorber) eller avgi (emitter) et foton samtidig som det går over i en annen (her vibrasjonal) tilstand

→ Ikke alle overgangene er mulige. Utvalegsregler forteller oss hvilke overgangene som er tillatt.

→ Utvalgsregler for vibrasjon:

$$g) \Delta v = \pm 1$$

b) dipolmomentet må endre seg under vibrasjon



→ Endringen i molekylets energi ved absorpsjon er da gitt ved

$$\Delta E_v = E_{v+1} - E_v = h\nu_0$$

→ Fotonefs frekvens er da

$$\Delta E_v = h\nu = h\nu_0 \Rightarrow \nu = \nu_0 = \frac{1}{2\pi} \sqrt{\frac{k}{\mu}}$$

→ Ved å mæle frekvens av det absorberte lys kan vi altså bestemme molekylets kraftkonstant, hvis vi kjenner den reduserte massen  $\mu = M_A w_B / (w_A + w_B)$ :

$$k = 4\pi^2 \nu^2 \mu = \frac{4\pi^2 c^2 \mu}{\lambda^2}$$

→ Ofte brukes enheten valgetall (antall valger pr lengdeenh.)

$$\tilde{\nu} = \frac{1}{\lambda} = \frac{\nu}{c} \text{ da } \nu c = c$$

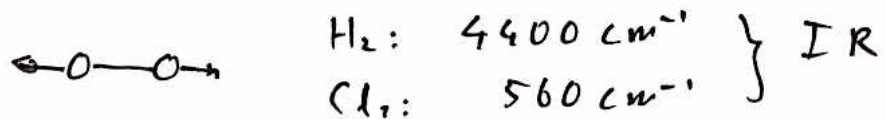
I valgetall får vi da

$$\tilde{\nu} = \frac{1}{2\pi c} \sqrt{\frac{k}{\mu}}$$

## Vibrasjoner i fleratomige molekyler

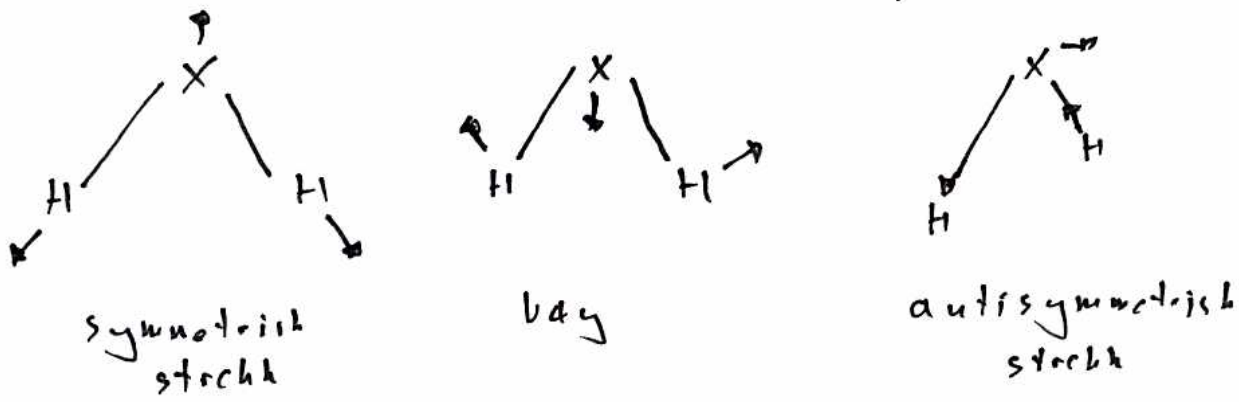
→ Alle molekyler vibrerer, ikke bare diatomer

→ Diatomer kan kun vibrere på én måte



→ Fleratomige molekyler vibrerer på en mer komplisert måte. Deres vibrasjoner kan imidlertid alltid dekomponeres i  $3N - 6$  såkalte normalvibrasjoner ( $3N - 5$  for linære molekyler), der  $N$  er antall atomer.

→ Eksempel: et ikke-lineært tratomig molekyl har  $3 \cdot 3 - 6 = 3$  normalvibrasjoner



$H_2O$	$3652 \text{ cm}^{-1}$	$1595 \text{ cm}^{-1}$	$3756 \text{ cm}^{-1}$
$H_2S$	$2611 \text{ cm}^{-1}$	$1290 \text{ cm}^{-1}$	$2684 \text{ cm}^{-1}$

→ Ved å analysere vibrasjonene kan informasjon om molekylenes struktur og bindingsforhold fås

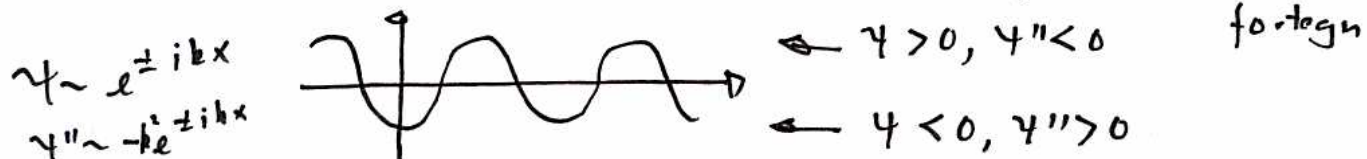
→ Alternativt kan molekylene spektra benyttes til identifikasjon, omrent som fingeravtrykk

## Kvantemekanisk tunnelering

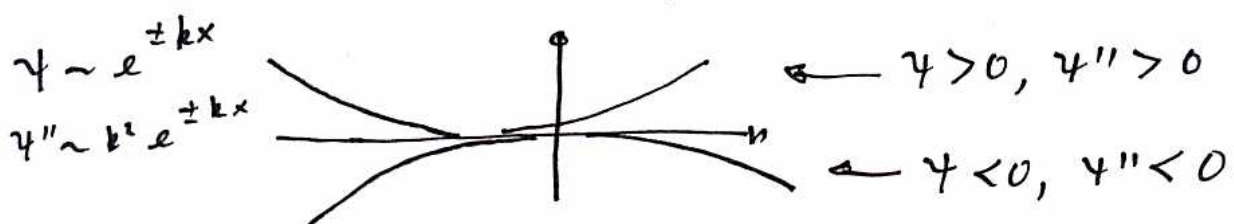
→ En valgefunktjon kan eksistere både i klassisk tillatte ( $E > V(x)$ ) og forbudte ( $E < V(x)$ ) områder, men vil oppføre seg forskjellig

$$-\frac{\hbar^2}{2m} \psi''(x) = [E - V(x)] \psi(x)$$

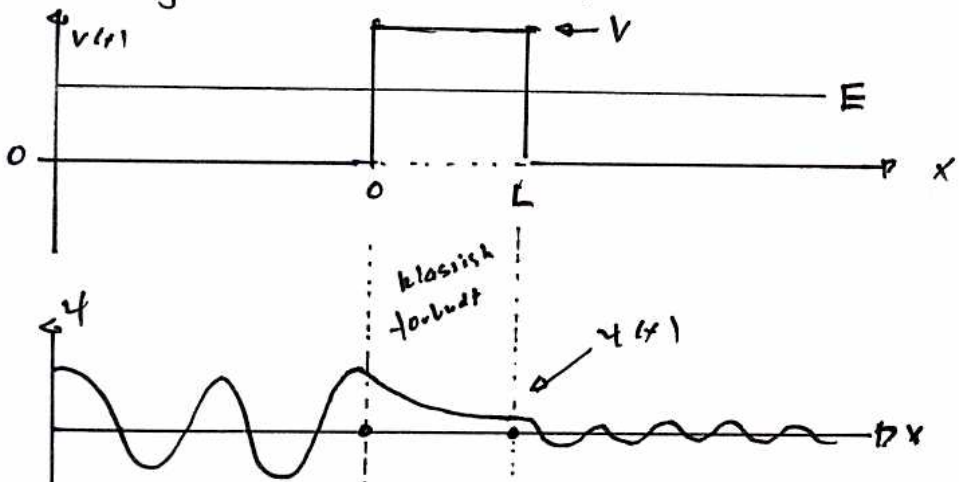
a) tillatt område:  $\psi(x)$  oscillerer da  $\psi''(x)$  og  $\psi(x)$  har motsatt



b) forbudt område:  $\psi(x)$  avtar eller vokser eksponentielt da  $\psi''$  og  $\psi$  har samme fortegn



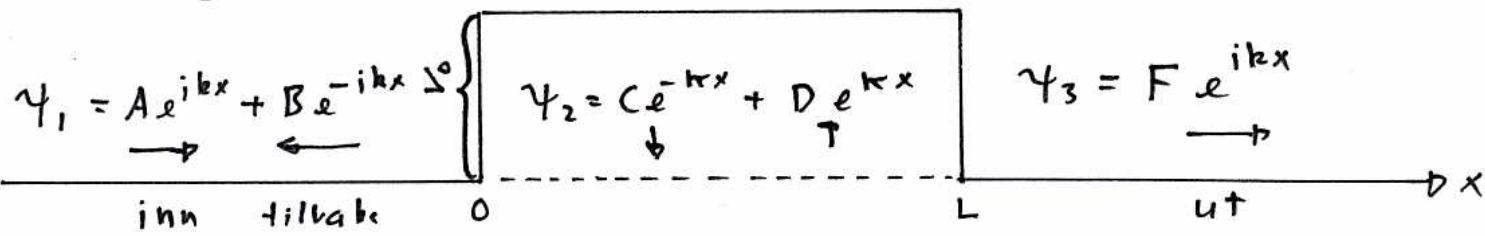
→ Vi kan nå skissere valgefunktjonen for en partikkel som skytes inn mot en barrier  $V > E$ :



a) klassisk vil partikken ikke kunne trenge gjennom barrieren

b) da  $|\psi(x)|^2 = \psi''(x)\psi(x) > 0$  for  $x > L$  er det en viss sannsynlighet for å finne partikken til høyre for barrieren ved måling — dette kalles tunnelering

## Sannsynlighet for tunnelering



$$-\frac{\hbar^2}{2m} \psi'' = [E - V(\psi)] \psi \Rightarrow \begin{cases} k = \sqrt{2mE}/\hbar \\ K = \sqrt{2m(V_0-E)}/\hbar \end{cases}$$

→ Vi er interesserte i sannsynligheten for tunnelering:

$$P = \frac{\text{utgående tetthet}}{\text{innsgående tetthet}} = \frac{(F e^{ikx})^* (F e^{ikx})}{(A e^{ikx})^* (A e^{ikx})} = \frac{F^* F}{A^* A}$$

→ Vi må bestemme  $F/A$  og brøyte grønnskets betingelsene ved vandringspunktene  $x=0$  og  $x=L$ :

$$\psi_1(0) = \psi_2(0), \quad \psi_1'(0) = \psi_2'(0)$$

$$\psi_2(L) = \psi_3(L), \quad \psi_2'(L) = \psi_3'(L)$$

→ En detaljert løsning gir (etter en del algebra)

$$P = \frac{8(V_0-E)E}{V_0^2 \cosh(2LK) - V_0^2 + 8(V_0-E)E}, \quad \cosh x = \frac{1}{2}(e^x + e^{-x})$$

→ Hvis vi antar at  $E \ll V_0$ , kan vi skrive

$$P \approx 16 \frac{E}{V_0} \left(1 - \frac{E}{V_0}\right) e^{-2L\sqrt{2m(V_0-E)}/\hbar}$$

– eksponentialet faktoren er her den viktigste, da den kan bli svært liten

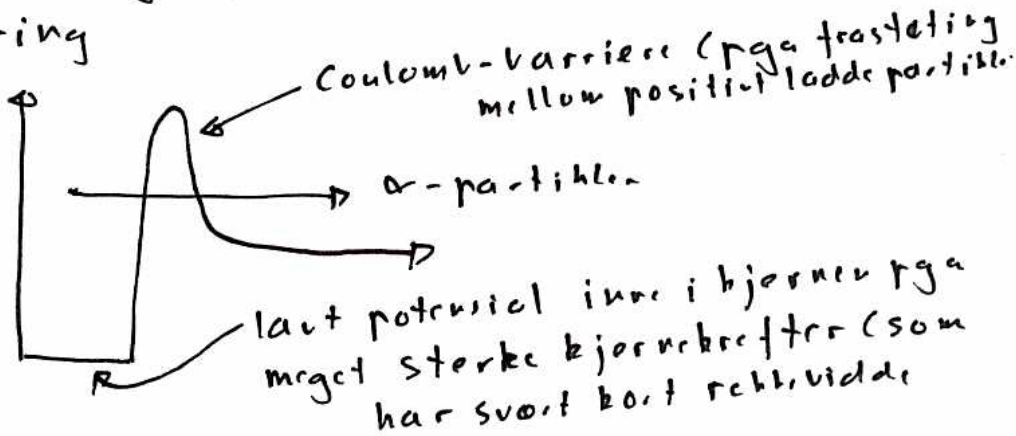
– Løreboka gir en forenklet utledning, som kun gir den eksponentielle faktoren – les denne!

→ Tunneleringssannsynligheten avhenger eksponentielt av partiklens masse, barrierrens lengde og dens høyde, og den avtar meget hurtig når disse størrelsene øker

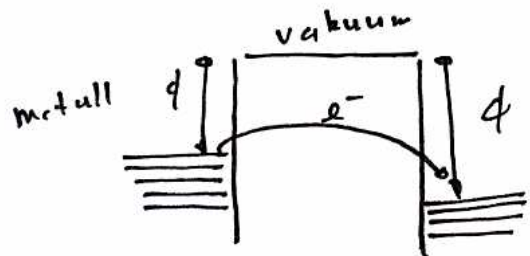
(\*) Det er ikke munningen at utledningen skissert på denne siden skal beverstes i detalj – den er gitt for komplektsens skyld (med tanke på lektiens forenklete framstilling)

## Tunnelering: eksempler

- a) Tunnelering gjør at mange kjemiske reaksjoner går langt raskere enn de ellers ville ha gjort (Særlig protonoverfninger, pga protonets lille masse)
- b) Radioaktiv desintegrasjon og kjernekrafts skjer ved tunnelering



- c) Scanning tunneling microscopy (STM) benytter tunnelering av elektroner gjenom vakuum



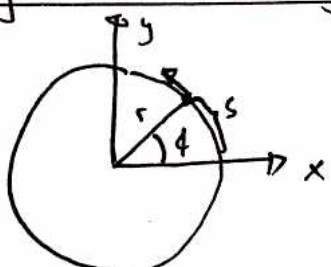
- metall      vakuum      metall
- 1) laut potensial i metallene, høgt ut i vakuum
  - 2) en pålagt sprunngs-forstikk gjør at det en i metall har lavere potensial og filtrerer  $e^-$

- i STM føres en liten nål langs en overflate av atomer
- når nåla er nær overflaten, vil det gå en svak strøm
- ved feedback sørger man for at det går en jevn tunneleringsstrøm, ved å flytte nåla opp og ned mens den beveger seg langs overflaten, alltid i samme (lille) avstand fra overflatetaket
- ved å registrere nålas brøkdeler dannes det et detaljert bilde av overflaten

## Kapittel 5: Rotasjonsbevegelse

### Partikkel på ring - sirkelbevegelse

Rotasjon om z-aksen



masse  $m$

$r$  konstant (sirkelbevegelse)

$$V(r) = 0$$

$$\ddot{s} = \omega r$$

bunnlangde

→ For rotasjon om z-aksen er polarkoordinater fornuftig:

$$x = r \cos \phi, \quad y = r \sin \phi \quad \Rightarrow \quad \phi = \arctan(\frac{y}{x}), \quad r = \sqrt{x^2 + y^2}$$

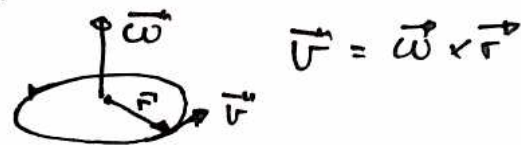
- partiklens posisjon bestemt av  $\phi$  (kun én koordinat)
- halvgrunnfargen vil da kun avhenge av  $\phi$

→ Det er da hensiktsmessig å beregne andre størrelser enn  $\vec{v}$ ,  $m$  og  $\vec{p} = m\vec{v}$

→ Fra enkle analogi betraktninger finner vi

g) Vinkel hastigheten  $\omega = d\phi/dt$ :

$$\omega = \frac{d\phi}{dt} = \frac{1}{r} \frac{ds}{dt} = \frac{v}{r}$$



$$\vec{v} = \vec{\omega} \times \vec{r}$$

↔ Tregheitsmomentet  $I = mr^2$ :

hvis energien uttrykkes ved  $w$  istedetfor  $v$ , er det naturlig å innføre  $I$  istedetfor  $m$ :

$$E = \frac{1}{2}mv^2 = \frac{1}{2}Iw^2 \Rightarrow I = m\left(\frac{v}{w}\right)^2 = mr^2$$

↔ Angularmomentet  $L = pr$ :

Hvilken størrelse erstatter bevægellessmengden  $p$ ?

$$E = \frac{p^2}{2m} = \frac{L^2}{2I} \Rightarrow L = \sqrt{\frac{I}{m}} p = pr \quad \begin{aligned} L &= \vec{F} \times \vec{r} \\ &= mvr = Iw \end{aligned}$$

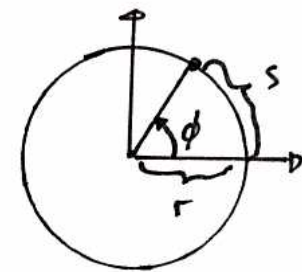
Altså:

lineær bevegelse	X	v	m	p
sirkelbevegelse	$\phi$	$\omega$	I	L

## Sirkelbevegelse: Schrödinger-ligningen

→ For en fri partikkel som beveger seg langs x-aksen er Schrödinger-ligningen gitt ved

$$-\frac{\hbar^2}{2m} \frac{d^2\psi}{dx^2} = E\psi, \quad V(x) = 0$$



→ Partikken beveger seg nå på en sirkel med radius  $r$ , der veilegden måles i s istedenfor i x (se figur). I analogi med en fri partikkel skriver vi da

$$-\frac{\hbar^2}{2m} \frac{d^2\psi}{ds^2} = E\psi, \quad V(s) = 0$$

→ Fra relasjonen

$$s = r\phi \Rightarrow ds = r d\phi \quad (r \text{ konstant})$$

finner vi

$$-\frac{\hbar^2}{2m} \frac{d^2\psi}{ds^2} = -\frac{\hbar^2}{2mr^2} \frac{d^2\psi}{d\phi^2} = -\frac{\hbar^2}{2I} \frac{d^2\psi}{d\phi^2}, \quad I = mr^2$$

→ Schrödinger-ligningen for en partikkel på en sirkel med et konstant potensial er da gitt ved

$$-\frac{\hbar^2}{2I} \frac{d^2\psi}{d\phi^2} = E\psi, \quad I = mr^2$$

der treghetsmomentet spiller samme rolle som masse gjør for lineær bevegelse

→ En mer stengt fremgangsmåte ville være å sette opp Schrödinger-ligningen i to dimensjoner

$$-\frac{\hbar^2}{2m} \left( \frac{\partial^2}{\partial x^2} + \frac{\partial^2}{\partial y^2} \right) \psi(x, y) = E\psi(x, y)$$

Og foreta en overgang til polar koordinater ved substitusjonene  $x = r\cos\phi$ ,  $y = r\sin\phi$

## Sirkelbevegelse: løsning av Schrödinger-ligningen

→ En generell løsning av Schrödinger-ligningen

$$-\frac{\hbar^2}{2I} \frac{d^2}{dq^2} \psi(q) = E \psi(q), \quad I = mr^2$$

er gitt ved

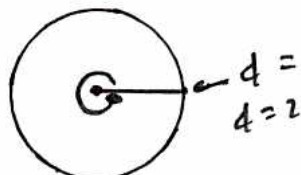
$$\psi(q) = \frac{1}{\sqrt{2\pi}} e^{im_c q} \quad \rightarrow m_c \text{ ukjent konstant}$$

Beweis:

$$-\frac{\hbar^2}{2I} \frac{d^2 \psi}{dq^2} = \left(-\frac{\hbar^2}{2I}\right) (im_c)^2 \psi = \frac{\hbar^2 m_c^2}{2I} \psi \Rightarrow E = \frac{\hbar^2 m_c^2}{2I}$$

→ Vi må nå kreve at belgefunktjonen er entydig  
(fra Borns interpretasjon)

$$\psi(0) = \psi(2\pi) \Rightarrow e^{i0} = e^{2\pi i m_c}$$



$$\Rightarrow \cos(0) + i \sin(0) = \cos(2\pi m_c) + i \sin(2\pi m_c)$$

$$\Rightarrow m_c = 0, \pm 1, \pm 2, \dots \text{ (periodiske funksjoner.)}$$

→ De mulige belgefunktjonene og energiene er da gitt ved

$$\boxed{\begin{aligned} \psi_{m_c}(q) &= \frac{1}{\sqrt{2\pi}} e^{im_c q} \\ E_{m_c} &= \frac{\hbar^2 m_c^2}{2I} \end{aligned} \quad \left. \begin{array}{l} \\ \end{array} \right\} m_c = 0, \pm 1, \pm 2, \dots}$$

→ Belgefunktjonen er normalert:

$$\int_0^{2\pi} \psi_{m_c}^* \psi_{m_c} dq = \int_0^{2\pi} \frac{1}{\sqrt{2\pi}} e^{-im_c q} \frac{1}{\sqrt{2\pi}} e^{im_c q} dq = \frac{1}{2\pi} \int_0^{2\pi} dq = 1$$

### Sirkelbevegelse: kvantisering av angulærmoment

→ For en partikkel på ring gjelder:

$$\psi_{n_\ell}(d) = \frac{1}{\sqrt{2\pi}} e^{i w_\ell d}, \quad E_{n_\ell} = \frac{\hbar^2 n_\ell^2}{2 I}, \quad m_\ell = 0, \pm 1, \pm 2, \dots$$

- energien er kvantisert (som for en partikkel i boks, men i motsetning til en fri partikkel)

- energinivåene er dobbeldegenererte (unntatt for  $m_\ell=0$ )

- ingen nullpunktenergi

→ Degenerasjon: ulike tilstander har samme energi

→ Hva er angulærmomentet av partikken?

$$E = \frac{L^2}{2I} \Rightarrow L = \pm \sqrt{2E/I} = \pm \sqrt{\hbar^2 n_\ell^2} = \pm \hbar |n_\ell|$$

- angulærmomentet om z-aksen er gitt ved

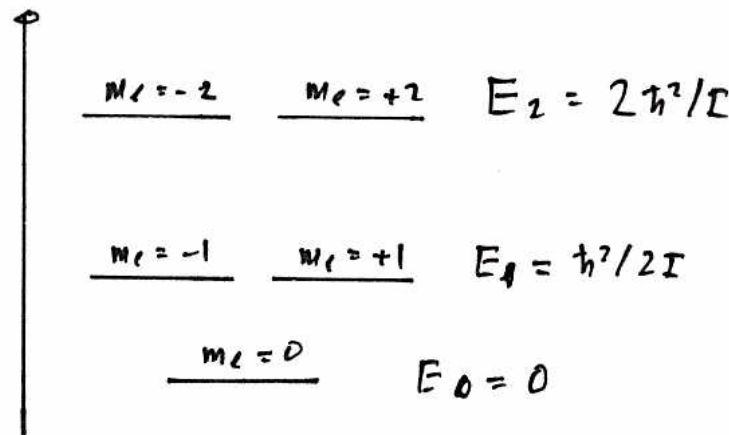
$$L_{n_\ell} = \hbar m_\ell, \quad m_\ell = 0, \pm 1, \pm 2, \dots$$

- angulærmomentet er kvantisert - partikken kan i htr. rotere vilkårlig fort!

- degenerasjonen for  $m_\ell \neq 0$  skyldes at partikken kan rotere i to ulike retninger

- kvantisering av rotasjon er et generelt kvantemekanisk fenomen

→ Vi kan nå sette opp et energinivådiagram:



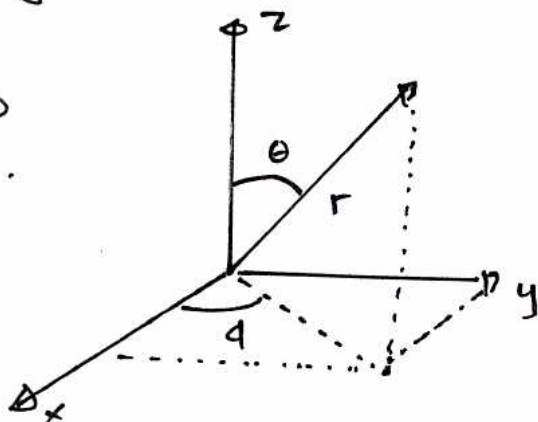
## Partikkel på kuleflate: klassisk beskrivelse

(35)

- For å beskrive bevegelse på en kuleflate er det naturlig å bruke polarkoordinater

$$V(\theta, \phi) = 0$$

$$r = \text{konst.}$$



$$x = r \sin \theta \cos \phi$$

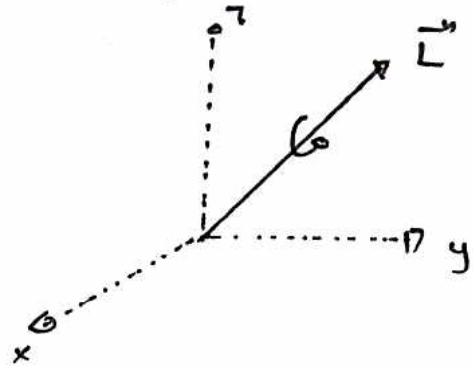
$$y = r \sin \theta \sin \phi$$

$$z = r \cos \theta$$

- En klassisk partikkel vil rotere om en fast rotasjonsakse, mrd konstant angulærmoment

- partikkens bevegelse er fastlagt ved å oppgi de tre komponentene av

$$\vec{L} = (L_x, L_y, L_z)$$



- Alle verdier av  $\vec{L}$  er tillatt - dus. partikken kan rotere vilkårlig fort, om en vilkårlig valgt akse

- Partikkens energi er gitt ved

$$E = \frac{\vec{L}^2}{2I}$$

$$\vec{L}^2 = L_x^2 + L_y^2 + L_z^2$$

$$I = mr^2$$

## Partikkel på en kuleflate: Schrödinger-ligningen

→ Schrödinger-ligningen for en partikkel som beveger seg i tre dimensjoner er generelt gitt ved

$$-\frac{\hbar^2}{2m} \nabla^2 \psi + V(x, y, z) \psi = E \psi$$

der vi har innført Laplace-operatoren

$$\nabla^2 = \frac{\partial^2}{\partial x^2} + \frac{\partial^2}{\partial y^2} + \frac{\partial^2}{\partial z^2} \leftarrow \begin{array}{l} \text{"måler" krumming} \\ \text{i alle tre retninger} \end{array}$$

→ For en partikkel på en kuleflate er  $r$  konstant, og vi benytter derfor sferiske koordinater.

→ Ved koordinatstasjon  $(x, y, z) \rightarrow (r, \theta, \phi)$  finner vi at Laplace-operatoren får formen

$$\nabla^2 = \frac{1}{r^2} \frac{\partial}{\partial r} \left( r^2 \frac{\partial}{\partial r} \right) + \frac{1}{r^2} \Lambda^2$$

der Legendre-operatoren er gitt ved

$$\Lambda^2 = \frac{1}{\sin^2 \theta} \frac{\partial^2}{\partial \phi^2} + \frac{1}{\sin \theta} \frac{\partial}{\partial \theta} \sin \theta \frac{\partial}{\partial \theta}$$

→ Da  $r$  er konstant, vil balget funksjonen være en funksjon  $\psi(\theta, \phi)$  uavhengig av  $r$ . Vi kan derfor utlate den delen av  $\nabla^2$  som deriveres mhp.  $r$ :

$$-\frac{\hbar^2}{2I} \Lambda^2 \psi(\theta, \phi) = E \psi(\theta, \phi), \quad I = mr^2$$

R Schrödinger-ligningen for  
en partikkel på en kuleflate

## Partikklet på en kuleflate: kuleflatefunksjonene

- Periodiske randbetingelser gir i én dimensjon (partikklet på ring) kvantisering med ett kvantetall.
- Vi forventer derfor at slike betingelser i to dimensjoner (partikklet på kuleflate) gir to kvantetall.
- Løsning av Schrödinger-ligningen gir

$$-\frac{\hbar^2}{2I} \Delta^2 Y_{lm_e}(\theta, \phi) = E_l Y_{lm_e}(\theta, \phi) \quad \left\{ \begin{array}{l} l = 0, 1, 2, \dots \\ m_l = 0, \pm 1, \pm 2, \dots \pm l \end{array} \right.$$

- Kuleflatefunksjonene (spherical harmonic functions)

$$Y_{lm_e}(\theta, \phi) = \Theta_{lm_e}(\theta) \Phi_{m_l}(\phi)$$

opptrer i mange ulike sammenhenger og består av to faktorer

$$\Phi_{m_l}(\phi) = \frac{1}{\sqrt{2\pi}} e^{im_l \phi} \quad \leftarrow \text{dst-vest-bevegelse}$$

- sammfunksjoner som for partikklet på ring

$$\Theta_{lm_e}(\theta) = \text{polynom i } \cos\theta \text{ og } \sin\theta \quad \leftarrow \text{nord-syd-bevegelse}$$

- eksempler gis senere

- Energien er uavhengig av  $m_l$ :

$$E_l = \frac{l(l+1)\hbar^2}{2I} \quad \leftarrow \text{bestemt av } l \text{ og } I = Mr^2$$

- ingen nullpunktsenergji

- degenerasjon  $2l+1$

(da energien er den samme for alle kvantetall)

$$m_l = \underbrace{-l, -l+1, \dots, 0, \dots, l-1, l}_{2l+1 \text{ mulige verdier av } m_l}$$

2l+1 mulige verdier av  $m_l$

## Angulermoment (drcieimpuls)

→ For en partikkel på en kuleflate er energi og total angulermomentrelatert som

$$E = L^2/2I, \quad L^2 = L_x^2 + L_y^2 + L_z^2$$

- fra  $E_l = l(l+1)\hbar^2/2I$  finner vi da at

$$L^2 = l(l+1)\hbar^2, \quad l = 0, 1, 2, \dots$$

→ Fra en partikkel på en ring vet vi videre at z-komponenten av angulermomentet er gitt ved

$$L_z = m_c \hbar, \quad m_c = 0, \pm 1, \pm 2, \dots$$

→ Dette gir den fundamentale betydningen av  $Y_{lm}(θ, φ)$ : kuleflatefunksjonene  $Y_{lm}(θ, φ)$  representerer tilstander med:

(i) totalangulermomentet

$$L = \sqrt{l(l+1)} \hbar, \quad l = 0, 1, 2, \dots$$

$l$  = det azimutale kvantetallet

(ii) angulermomentets z-komponent

$$L_z = m_c \hbar, \quad m_c = 0, \pm 1, \pm 2, \dots \pm l$$

$m_c$  = det magnetiske kvantetallet

→ Vi kan nå se gjennom begrensningen  $|m_c| \leq l$ :

$$L^2 \geq L_z^2 \Rightarrow l(l+1)\hbar^2 \geq m_c^2 \hbar^2 \Rightarrow \sqrt{l(l+1)} \geq |m_c| \Rightarrow l \geq |m_c|$$

→ For en partikkel på en kuleflate er energien kun avhengig av totalangulermomentet ( $l$ ) og i hørdeles orientering i rommet ( $m_c$ ) - derfor er energien bestemt av  $l$  og ikke av  $m_c$ :  $E_l = l(l+1)\hbar^2/2I$

Bemerk: Et magnetfelt vil energien også avhenge av  $m_c$  (hvis partikkelen er ladet)

## Angulærmomentets kvantisering

→ Angulærmomentet er fullstendig beskrevet av  $Y_{l,m_l}(\theta, \phi)$ :

$$L^2 = l(l+1)\hbar^2, L_z = m_l\hbar$$

- vi kan kun skarpt bestemme angulærmomentets størrelse og én av de tre komponentene ( $L_z$ )
- de andre to komponentene ( $L_x$  og  $L_y$ ) er ukonstante

→ Eksempel:  $l=0, m_l=0$

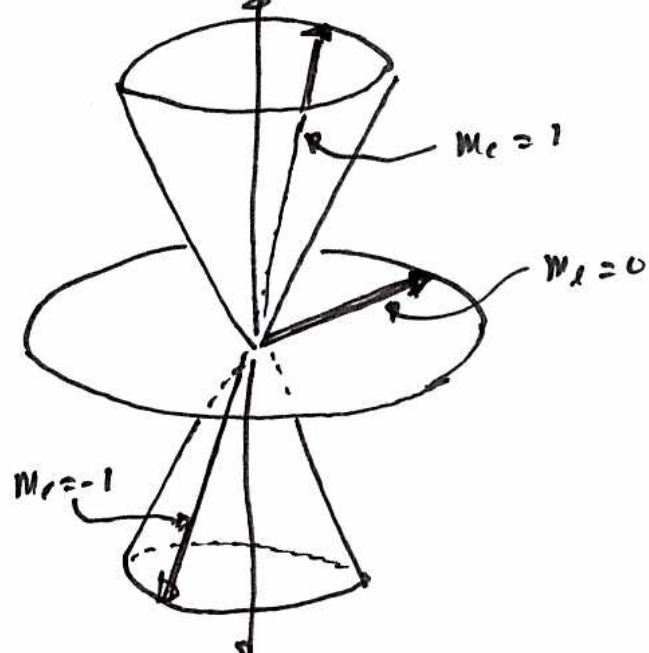
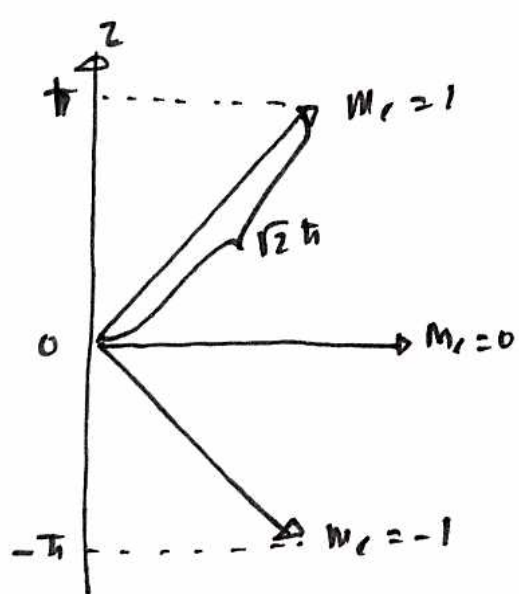
$$Y_{0,0}(\theta, \phi) = \frac{1}{\sqrt{\pi}}, \quad L=0, \quad L_z=0 \quad \leftarrow \text{ingen rotasjon}$$

→ Eksempel:  $l=1, m_l=-1, 0, 1$

$$Y_{1,-1}(\theta, \phi) = -\frac{1}{2}\sqrt{\frac{3}{2\pi}} \sin\theta e^{it}, \quad L=\sqrt{2}\hbar, \quad L_z=-\hbar$$

$$Y_{1,0}(\theta, \phi) = \frac{1}{2}\sqrt{\frac{3}{2\pi}} \cos\theta, \quad L=\sqrt{2}\hbar, \quad L_z=0$$

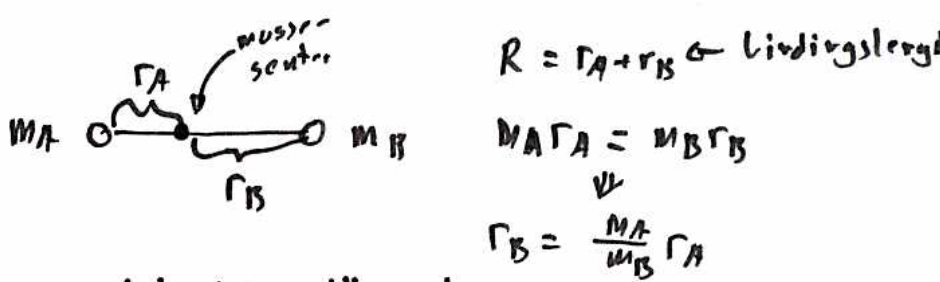
$$Y_{1,1}(\theta, \phi) = \frac{1}{2}\sqrt{\frac{3}{2\pi}} \sin\theta e^{-it}, \quad L=\sqrt{2}\hbar, \quad L_z=\hbar$$



→ Konklusjon: angulærmomentet er kvantisert ikke bare i størrelse, men også i orientering (rumlig kvantisering): ikke alle orienteringer er tillatt!

## Molekylrotasjon

→ Et toatomig molekyl kan rotere om sitt massecenter



→ Det totale drifteksmomentet er gitt ved

$$I = M_A r_A^2 + M_B r_B^2 = M_A r_A^2 + \frac{m_A}{m_B} r_A^2 = m_A \left(1 + \frac{m_A}{m_B}\right) r_A^2$$

$$= \frac{m_A}{1 + \frac{m_A}{m_B}} \left(1 + \frac{m_A}{m_B}\right)^2 r_A^2 = \frac{M_A M_B}{M_A + M_B} \left(r_A + \frac{m_A}{m_B} r_A\right)^2 = \mu R^2$$

der  $\mu = \frac{M_A M_B}{M_A + M_B}$  er den reduerte masse.

→ Den klassiske rotasjonsenergien er nå

$$E = \frac{\gamma^2}{2I}, I = \mu R^2, \gamma = \text{ang. mom. for molekylrotasjon}$$

→ Kvantisering gir vi som tidligere

$$E_\gamma = \frac{\gamma(\gamma+1)\hbar^2}{2I}, \gamma = 0, 1, 2, \dots \quad M_\gamma = 0, \pm 1, \dots \pm \gamma$$

→ I rotasjonsspektroskop måler vi overganger mellom disse energinivåene, med utvalgsregelen

$$\Delta \gamma = \pm 1$$

→ Denne utvalgsregelen skyldes bevaringen av angulærmoment: hvert enkelt foton har ang. mom.  $\hbar$  (boson). Ved absorpsjon økes dermed ang. mom. med  $\hbar$  ( $\Delta \gamma = 1$ ); ved emisjon reduseres det med  $\hbar$  ( $\Delta \gamma = -1$ ).

→ Endringen i energi er derfor (absorp):

$$\Delta E = E_{\gamma+1} - E_\gamma = \frac{(\gamma+1)(\gamma+2) - \gamma(\gamma+1)}{2I} \hbar^2 = \frac{2(\gamma+1) \hbar^2}{2I}$$

→ Ved å bruke  $\Delta E = h\nu$  kan vi bestemme  $I$  og dermed  $R$  (bindingssavstanden) ved å måle lysets frekvens  $\nu$ .

## Partikkelspin

- I tillegg til angulærmoment som skyldes bevegelse gjennom rommet, har mange partikler også spinn.
- Spinn er en innre frihetsgrad, men kan betraktes som rotasjon om egen akse.
- For elektronet er spinrotasjonskvantetallet  $S = \frac{1}{2}$ , med z-komponent  $m_s = \pm \frac{1}{2} \hbar$  på vanlig måte:

$$S = \sqrt{S(S+1)} \hbar = \sqrt{\frac{1}{2}(\frac{1}{2}+1)} \hbar = \frac{1}{2}\sqrt{3}\hbar$$

$$S_z = m_s \hbar = \pm \frac{1}{2} \hbar$$

— elektronet har altså to spintilstander, begge med  $S = \frac{1}{2}$ :

$$m_s = \begin{cases} \frac{1}{2} & \leftarrow \uparrow \text{(Spinn opp)} \\ -\frac{1}{2} & \beta \downarrow \text{(Spinn ned)} \end{cases}$$

→ Spinn er likt fundamentalt som masse og ladning.

→ Alle partikler kan deles i to klasser:

g) fermioner: halvtallig spinn (eks. elektron)

b) bosoner: hel tallig spinn (eks. foton)

→ For kjerner brukes spinkvantetallene  $I$  og  $M_I$

— proton har  $I = \frac{1}{2}$ ,  $M_I = \pm \frac{1}{2} \hbar$

— dette gir  $\alpha$ - og  $\beta$ -spinn, akkurat som for elektronet

— også sterke masser roterer kjernen mye langsommere enn elektronet (men med samme avg. mom.)

— i et pålagt magnetfelt vil  $\alpha$ - og  $\beta$ -tilstandene ha ulik energi

— i kjernemagnetisk resonans induseres overganger mellom disse nivåene, via fotoner

## Kapittel 6: Hydrogenatomet

- et elektron med masse  $m_e$  og ladning  $-e$  beveger seg rundt en kjernne med masse  $M_p \gg m_e$  og ladning  $Z e$
- både kjernen og elektronet er i bevegelse
- vi kan betrakte kjernen som værende i ro hvis vi tar elektronet bortsett den reduserte masse

$$\mu = \frac{m_e M_p}{m_e + M_p} \approx m_e$$

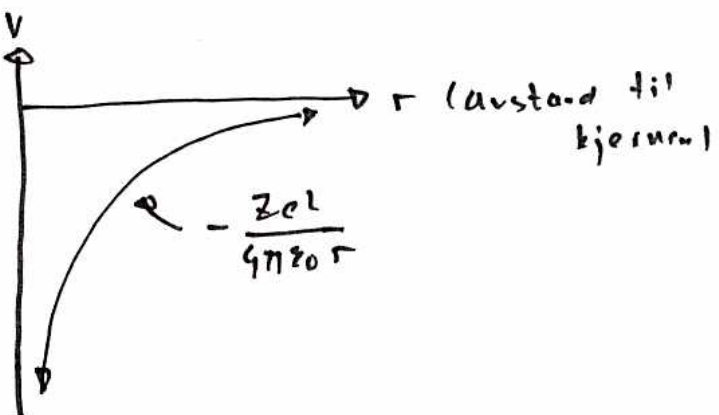
- elektronet og kjernen tiltrekkes hverandre med

Coulomb-potensialet:

$$V = -\frac{Z e^2}{4\pi\epsilon_0 r}$$

$$\epsilon_0 = 8.85 \cdot 10^{-12} \text{ C/Vm}$$

(den elektriske konstant)



- potensialet er attraktivt og kulasyntetisk (avhenger kun av  $r$ )
- klassisk ville elektronet falle ned mot kjernen. Hvorfor skjer ikke dette?

- Schrödiger-ligningen for elektronet er gitt ved

$$-\frac{\hbar^2}{2\mu} \nabla^2 \psi - \frac{Z e^2}{4\pi\epsilon_0 r} \psi = E \psi \quad \begin{matrix} \text{Legendre-} \\ \text{operatoren} \end{matrix}$$

$$\nabla^2 = \underbrace{\frac{\partial^2}{\partial x^2} + \frac{\partial^2}{\partial y^2} + \frac{\partial^2}{\partial z^2}}_{\text{kartesiske koor.}} = \underbrace{\frac{1}{r} \frac{\partial^2}{\partial r^2} r + \frac{1}{r^2} \Delta^2}_{\text{polarkoordinater}}$$

- pga kulasynteti virktes polarkoordinater akkurat som for en partikkel på en kuleflate, men vi kan ikt. lengre neglisjere den radiale bevegelse

### Hydrogenatomets balgr funksjon: angulær- og radialisel

43

→ Da potensiallet kun avhenger av  $r$ , separeres  
balgefunktjonen i en radialdel og en angulardel:

$$\Psi(r, \theta, \phi) = R(r) Y(\theta, \phi)$$

radial part      angular part

→ Førstatt i Schrödinger-ligningen gir dette at

a) angulordelen er en kuleflatefunktion

$$Y_{lm}(\theta, \phi) \quad \left\{ \begin{array}{l} l = 0, 1, 2, \dots \\ m_l = 0, \pm 1, \pm 2, \dots \pm l \end{array} \right. \quad \text{Legendre-} \\ \text{funktionen}$$

- samme angulær brøkdel som på en kuleflate<sup>1)</sup>
  - rotasjonsenergi:  $\ell(\ell+1)h^2/2\mu r^2$
  - antall noder =  $\ell$  (det azimuthale kvantetallet)

↳ radialdelen fås ved å løse ligningen  elektronets energi

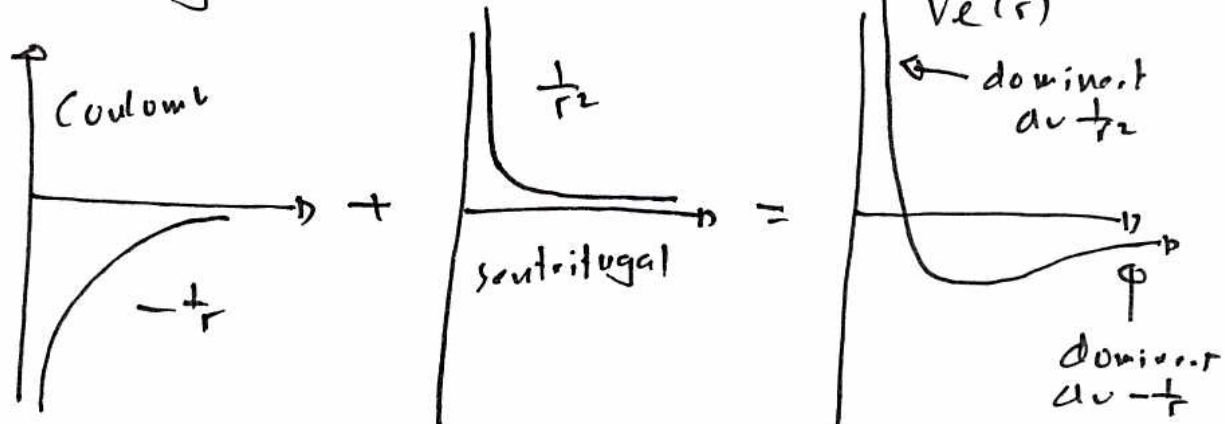
$$-\frac{\hbar^2}{2\mu r^2} \frac{d}{dr} \left( r^2 \frac{d}{dr} \right) R(r) + V_\ell(r) R(r) = E R(r)$$

där vi har innfört det effektiv potensial

$$V_\ell(r) = -\frac{Ze^2}{4\pi\epsilon_0 r} + \frac{\ell(\ell+1)b^2}{2\mu r^2}$$

<sup>$\rightarrow$</sup>   
attractive (centrifugal)  
 $\searrow$  repulsive (centrifugal)

- det repulsive potensialet skyldes elektronets rotasjonsenergi og avhenger av det azimutale kvantitallet  $\ell$



## Hydrogenatoms radialfunksjoner

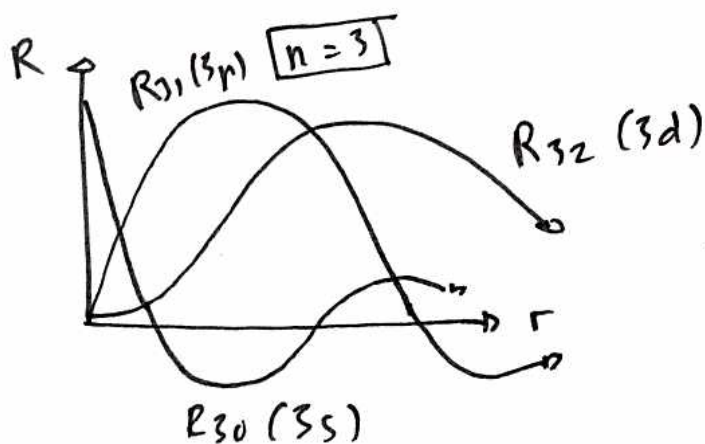
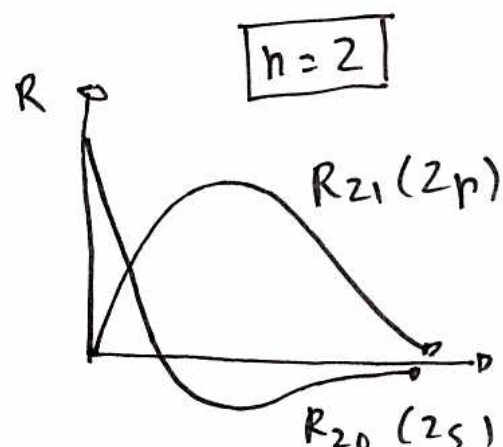
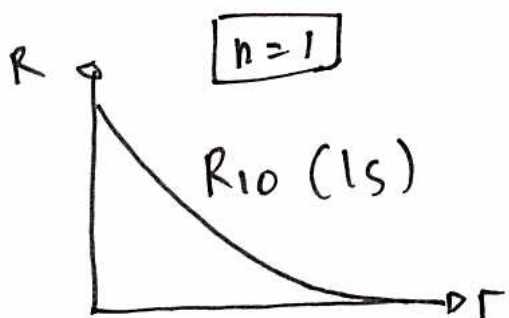
→ Løsing av radialligningen gir

$$R_{nl}(r) = \rho^l \underbrace{L_{n,l}(\rho)}_{\text{ass. Laguerre-polygram}} e^{-\rho/2} \quad \left\{ \begin{array}{l} n=1, 2, 3, \dots \text{ hovedkvantetall} \\ l=0, 1, \dots n-1 \text{ libratall} \\ \text{(asimutale kvantetall)} \end{array} \right.$$

av grad  $n-l$

$$\rho = \frac{2Z}{n} \frac{r}{a_0}, \quad a_0 = \frac{4\pi\epsilon_0 \hbar^2}{Me^2} = 52.9 \text{ pm} \quad (\text{Bohr-radius})$$

→ Plot av  $R_{nl}(r)$



$$\begin{aligned} & \text{antall radiale noder } n-l-1 \\ & + \text{antall ørtygsnoder } l \\ & = \text{tot. antall noder } \underline{\underline{n-1}} \end{aligned}$$

→ Energien avhenger kun av  $n$  (dvs. av antall noder)

$$E_n = -\frac{hcR}{n^2}, \quad n = 1, 2, \dots$$

$$hcR = \frac{Z^2 e^2}{8\pi\epsilon_0 a_0} = 2.18 \cdot 10^{-18} \text{ J}$$

↔ Rydberg-konstanten

- overganger gir energitilstellene

$$E_{n_2} - E_{n_1} = hcR \left( \frac{1}{n_1^2} - \frac{1}{n_2^2} \right) = h\nu = \frac{hc}{\lambda}$$

# Hydrogenatomets kvantetall

(45)

→ Hydrogenatoms belgefunktjon

$\Psi_{n\ell m}(\mathbf{r}, \theta, \phi) = R_{n\ell}(r) Y_{\ell m}(\theta, \phi)$  orbital (= en elektronbelgefunktjon)  
avhenger av tre kvantetall, som bestemmer

✓ energien (hovedkvantetallet)

$$E_n = -\frac{hcR}{n^2}, n=1, 2, \dots \quad \begin{array}{c|ccccccccc} & K & L & M & N & \dots \\ \hline n & 1 & 2 & 3 & 4 & \dots \end{array} \leftarrow \text{skall}$$

✓ totalangulærmomentet (lik kvantetallt, azimutalkvantetallet)

$$L = \sqrt{\ell(\ell+1)}\hbar, \ell = 0, 1, \dots, n-1 \quad \begin{array}{c|ccccccccc} & s & p & d & f & g & \dots \\ \hline l & 0 & 1 & 2 & 3 & 4 & \dots \end{array} \leftarrow \text{underskall}$$

✓  $z$ -komponenten av angulærmomentet (mag. kvantetallt)

$$L_z = m_c \hbar, m_c = 0, \pm 1, \pm 2, \dots, \pm \ell \quad (2\ell+1 \text{ verdier})$$

skall	n	underskall	l	deg.	
K	1	1s	0	1	$\} l=n^2$
L	2	2s 2p	0 1 2	1 3	$\} l+3=4=n^2$
M	3	3s 3p 3d	0 1 2	1 3 5	$\} l+3+5=9=n^2$

→ Degenerasjonen av energinivåene

$$\sum_{l=0}^{n-1} (2l+1) = n^2$$

→ I tillegg til de vanlige bevegelsene (orbitalbevegelse) har elektronet spinn (egenrotasjon, om egen akse)

$$S = \frac{1}{2}, m_s = \frac{1}{2} (\beta), S = \frac{1}{2}, m_s = -\frac{1}{2} (\alpha)$$

→ En fullstendig spesifikasjon av en tilstand krever no fire kvantetall, eksperimentelt

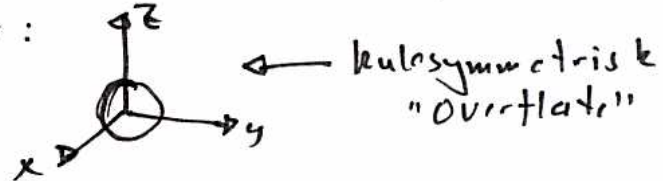
	n	l	$m_c$	$m_s$		
1s $\alpha$	1	0	0	$\frac{1}{2}$	degenerasjonen er til sammen $2n^2$	
2p $\beta$	2	1	1	$-\frac{1}{2}$		

## S-orbitaler

→ S-orbitaler representerer tilstander uten rotasjon

( $l=0$ ) og er kulsymmetriske:

$$\Psi_{00}(r, \theta, \phi) = \frac{1}{\sqrt{4\pi}}$$

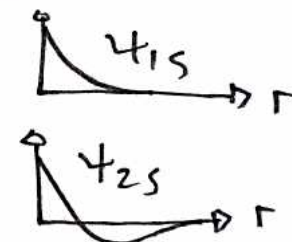


→ S-orbitaler har størst amplitud på kjernen

(ingen sentrifugal kraft) og har  $n-1$  radiale noder

$$\psi_{1s} \propto e^{-r/a_0}$$

$$\psi_{2s} \propto (2 - \frac{r}{a_0}) e^{-r/2a_0}$$



→ 1s-orbitalen er det nærmeste elektronet kommer til å ligge i ro på kjernen (Heisenbergs usikkerhetsrelasjon)

→ I hvilken avstand fra kjernen er det mest sannsynlig å finne et elektron i en 1s-orbital?

— sannsynligheten er gitt ved

$$[\text{antall punkter i avstand } r] \times [\text{sannsynlighet i hvert punkt}]$$

— antall punkter i avstand  $r$

= volum av et tynt kulskall i avstand  $r$

$$= 4\pi r^2 dr = dV$$

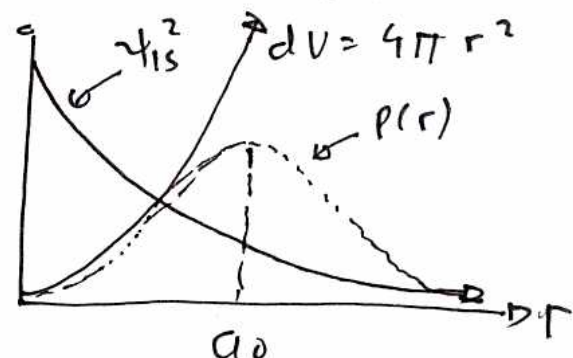
— sannsynligheten er derfor

$$\psi_{1s}^2(r) dV = 4\pi r^2 e^{-2r/a_0} dr = P(r) dr$$

— størst sannsynlighet

$$\frac{dP(r)}{dr} = 0 \Rightarrow \left(2r - \frac{2r^2}{a_0}\right) e^{-2r/a_0} = 0 \Rightarrow \boxed{r = a_0}$$

— Bohr-radius  $a_0$  representerer den mest sannsynlige avstand



## p-orbitaler

→ p-orbitaler svarer til tilstander med orbitalangulærmoment  $\sqrt{2}\hbar$  ( $l=1$ )

→ for hvert hovedkvantetall  $n > 1$  fins det tre p-orbitalene svarende til tre ulike rotasjonsretninger:

$$\begin{aligned} 2p_+ &\propto r e^{-r/2a_0} \sin\theta e^{i\phi} & M_l = 1 \\ 2p_0 &\propto r e^{-r/2a_0} \cos\theta & m_l = 0 \\ 2p_- &\propto r e^{-r/2a_0} \sin\theta e^{-i\phi} & M_l = -1 \end{aligned}$$

kompleks  
tilstander

→ Vi kan lage reelle kombinasjoner:

$$\begin{aligned} 2p_x &= \frac{1}{2}(2p_+ + 2p_-) = r e^{-r/2a_0} \sin\theta \frac{e^{i\phi} + e^{-i\phi}}{2} \\ &\approx r \sin\theta \cos\phi e^{-r/2a_0} = x e^{-r/2a_0} \end{aligned}$$

$$2p_y = \frac{1}{2i}(2p_+ - 2p_-) = r \sin\theta \sin\phi e^{-r/2a_0} = y e^{-r/2a_0}$$

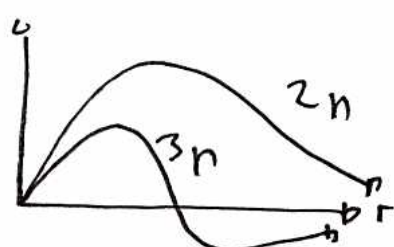
- dette gir oss de tre alternative orbitalene

$$\begin{aligned} 2p_x &\propto x e^{-r/2a_0} \\ 2p_y &\propto y e^{-r/2a_0} \\ 2p_z &\propto z e^{-r/2a_0} \quad M_l = 0 \end{aligned}$$

Vidring av  
 $m_l = -1$  og  $m_l = 1$  i høstørn  
rotasjonsretning

- disse reelle orbitalene har den samme energi og det samme totalangulærmomentet som de komplekse orbitalene, men uavhengig z-kompon. av ang. mom.

→ Plot av radialdelen:



$n-2$  radiale noder  
 $1$  angulær node  
 $\frac{n-1}{n-2}$  noder til sammen

- bemerk: det er ingen sanseligheit for å finne elektronet på kjernen (pga sentrifugalkraften)

## Kapittel 7: Flerelektronatomer

(48)

### Hamilton-operatoren

→ Schrödinger-ligninger skrives ofte på operator-formen

$$\hat{H}\psi = E\psi$$

der  $\hat{H}$  er den kvantmekaniske Hamilton-operatoren

$$\hat{H} = -\frac{\hbar^2}{2m} \nabla^2 + V(x, y, z), \quad \nabla^2 = \frac{\partial^2}{\partial x^2} + \frac{\partial^2}{\partial y^2} + \frac{\partial^2}{\partial z^2}$$

→ Hvordan fremkommer denne operatoren?

→ I Hamiltons klassiske mekanikk beskrives en partikkel ved dens posisjon og bevegelsesmengde:

$$\vec{r} = (x, y, z), \quad \vec{p} = (p_x, p_y, p_z)$$

- energien er representert ved Hamilton-funksjonen

$$H = \frac{1}{2m}(p_x^2 + p_y^2 + p_z^2) + V(x, y, z) \quad (\text{gravitasjonsfelt})$$

- Hamiltons bevegelsesligninger er gitt ved

$$\frac{d\vec{p}}{dt} = -\frac{\partial H}{\partial \vec{r}}, \quad \frac{d\vec{r}}{dt} = \frac{\partial H}{\partial \vec{p}}$$

→ For alle systemer dannar vi Hamilton-operatoren fra Hamilton-funksjonen ved å gjøre substitusjonene

$$p_x \rightarrow -i\hbar \frac{\partial}{\partial x}, \quad p_y \rightarrow -i\hbar \frac{\partial}{\partial y}, \quad p_z \rightarrow -i\hbar \frac{\partial}{\partial z}$$

- for det kinetiske energi-leddet finner vi

$$\frac{1}{2m}(p_x^2 + p_y^2 + p_z^2) \rightarrow \frac{1}{2m}(-i\hbar)^2 \left( \frac{\partial^2}{\partial x^2} + \frac{\partial^2}{\partial y^2} + \frac{\partial^2}{\partial z^2} \right) = -\frac{\hbar^2}{2m} \nabla^2$$

- på samme måte kan vi dannar operatorer for alle størrelser fra klassisk mekanikk

## Operatorer og egenverdiligninger

→ En operator virker på en funksjon og danner en ny funksjon:

$$\hat{A} f(x) = g(x)$$

- eksempel:  $\hat{p}_x \cos x = -i\hbar \sin x$ ,  $\hat{p}_x = -i\hbar \frac{\partial}{\partial x}$

→ En egenverdiligning er en operatorligning av formen

$$\hat{A} f(x) = \overset{\text{tall}}{a} f(x) \quad \left\{ \begin{array}{l} a \text{ er et tall, kalt } \underline{\text{egenverdien}} \\ f(x) \text{ er tilsvarende } \underline{\text{egenfunktjon}} \end{array} \right.$$

- eksempel:  $\hat{p}_x e^{ix} = \hbar k e^{ix}$ ,  $\hat{p}_x = -i\hbar \frac{\partial}{\partial x}$

→ Schrödinger-ligningen er en egenverdiligning, der belgefunktjonen er egenfunktjonen og energien er egenverdien

$$\hat{H} \psi = E \psi, \quad \hat{H} = -\frac{\hbar^2}{2m} \nabla^2 + V(x, y, z)$$

→ Generelt har en egenverdiligning mange løsninger

$$\hat{A} f_n(x) = a_n f_n(x), \quad n=1, 2, \dots$$

→ I Schrödinger-ligningen  $\hat{H} \psi_n = E_n \psi_n$  ( $n=1, 2, \dots$ ) svarer hver slike løsning  $\psi_n(x)$  til en mulig fysisk tilstand, med energi  $E_n$

→ Generelt er alle måltbare størrelser representert ved en operator  $\hat{S}$ , med sine egenfunktjoner og egenverdier:

$$\hat{S} \psi_n = \underbrace{w_n \psi_n}_{\substack{\text{mulig måleresultat} \\ \text{tilstand etter måling}}} \quad$$

- hvor måling vil gi som resultat en av egenverdiene  $w_n$  etter målingen av systemet i tilsvarende tilstand  $\psi_n$
- vi kan ikke alltid forutsi resultatet  $w_n$  av en måling

## Fler elektronssystemer og orbitalapproksimasjonen

→ Heliumatomet er komplisert pga. vektsvirkingen mellom elektronene

$$H(1,2) = h(1) + h(2) + \frac{e^2}{4\pi\epsilon_0 r_{12}} \quad \begin{matrix} \text{Coulomb-frestetning} \\ \text{mellom elektronene} \end{matrix}$$

$$h(i) = -\frac{\hbar^2}{2m_e} \nabla_i^2 - \frac{Ze^2}{4\pi\epsilon_0 r_i} \quad \begin{matrix} \text{en elektronoperator} \\ (Z=2 \text{ for helium}) \end{matrix}$$

→ I motsetning til én elektronssystem er flerelektronssystemer ikke eksakt løsbare: flerpartikkelpartiklet

- vi må gjøre tilnærrelser (approksimasjoner), som gir en forenklet (men god) beskrivelse av systemet

→ Hvis vi utelater Coulomb-frestetningen fra Hamilton-operatorn

$$H^{(0)}(1,2) = h(1) + h(2)$$

kan beligefunktjonen skrives på produkt form

$$H^{(0)}(1,2) \Psi_{a1}(1) \Psi_b(2) = (E_a + E_b) \Psi_{a1}(1) \Psi_b(2)$$

där faktorene er spinørbitalar (én elektronfunktjoner)

$$\left. \begin{aligned} h(1) \Psi_{a1}(1) &= E_a \Psi_{a1}(1) \\ h(2) \Psi_b(2) &= E_b \Psi_b(2) \end{aligned} \right\} \text{(spinn)ørbitalar}$$

→ Hvis Coulomb-frestetingen ikke utelates, kan vi ikke lenger skrive en tilnærmet beligefunktjon som et produkt av (spinn)ørbitalar

$$\Psi(1,2) \approx \Psi_{a1}(1) \Psi_b(2)$$

- dette er øritalapproksimasjonen:  
beligefunktjonen skrives som et produkt av spinnørbitalar.

## Pauli-prinsippet

→ Ved lytting av identiske partiklers koordinater oppfører den eksakte valget funksjonen seg på følgende måte:

$$\begin{aligned}\psi(1,2) &= -\psi(2,1) \text{ fermioner} \\ \psi(1,2) &= \psi(2,1) \text{ bosoner}\end{aligned}\left.\right\} \begin{array}{l} \text{naturlov} \\ \text{Pauli-prinsippet} \end{array}$$

→ Enkle produktfunksjoner har galt oppførsel:

$$\begin{aligned}\psi_a(1)\psi_b(2) &\neq -\psi_a(2)\psi_b(1) \\ \psi_a(1)\psi_b(1) &\neq -\psi_a(1)\psi_b(2)\end{aligned}$$

- for å oppnågge Pauli-prinsippet med orbitalfunksjoner for to elektroner ha følgende form:

$$\psi(1,2) = \psi_a(1)\psi_b(2) - \psi_a(2)\psi_b(1)$$

$$\psi(2,1) = \psi_a(2)\psi_b(1) - \psi_a(1)\psi_b(2) = -\psi(1,2)$$

→ Generelt skrives vi i orbitalapproximasjonen valget funksjonen som et antisymmetrisk produkt av spinorbitalar:

$$\begin{aligned}\psi(1,2,3) &= a(1)b(2)c(3) - a(1)b(3)c(2) - a(2)b(1)c(3) \\ &\quad + a(2)b(3)c(1) - a(3)b(1)c(2) + a(3)b(2)c(1)\end{aligned}$$

→ Matematisk kan slike antisymmetriske spinnorbitalprodukter skrives som determinanter

$$\psi(1,2,3) = \begin{vmatrix} a(1) & b(1) & c(1) \\ a(2) & b(2) & c(2) \\ a(3) & b(3) & c(3) \end{vmatrix}$$

- bemerk: elektronene tilhører ikke bestemte spinnorbitalar

## Paulis eksklusjonsprinsipp

→ Betegnelse for to elektroner i orbitalapproksimasjonen:

$$\psi_{ab} = \begin{vmatrix} a(1) b(1) \\ a(2) b(2) \end{vmatrix} = a(1)b(2) - a(2)b(1)$$

→ Hvis vi har begge elektronene i samme spinorbital  $a = b$ , så forsvinner betegnelseen:

$$\psi_{aa} = \begin{vmatrix} a(1) a(1) \\ a(2) a(2) \end{vmatrix} = a(1)a(2) - a(2)a(1) = 0$$

→ Paulis eksklusjonsprinsipp:

Vi kan kun ha ett elektron i hver spinorbital

→ Fra hver orbital kan vi dannet to spinorbitaler

- eksempel:  $1s \rightarrow 1s\alpha, 1s\beta$

$$\begin{aligned} \psi_{1s} &= \begin{vmatrix} 1s\alpha(1) 1s\beta(1) \\ 1s\alpha(2) 1s\beta(2) \end{vmatrix} = 1s\alpha(1)1s\beta(2) - 1s\alpha(2)1s\beta(1) \\ &= \underbrace{1s(1)1s(2)}_{\text{samme orbital}} \underbrace{[\alpha(1)\beta(2) - \beta(1)\alpha(2)]}_{\text{motsatt spin}} \end{aligned}$$

To elektroner kan ikke være samme orbital hvis de har motsatt spin ( $\alpha$  og  $\beta$ ).

→ Ifølge eksklusjonsprinsippet kan hver orbital ikke være med 0, 1 eller 2 elektroner.

- vi oppgir et systems elektronkonfigurasjon ved å spesifisere okkupasjonsstallet for hver orbital:

- for helium har vi følgende muligheter:

$1s^2$  (grunnstasjon),  $1s2s$ ,  $1s2p$ ,  $2s^2$ , ...

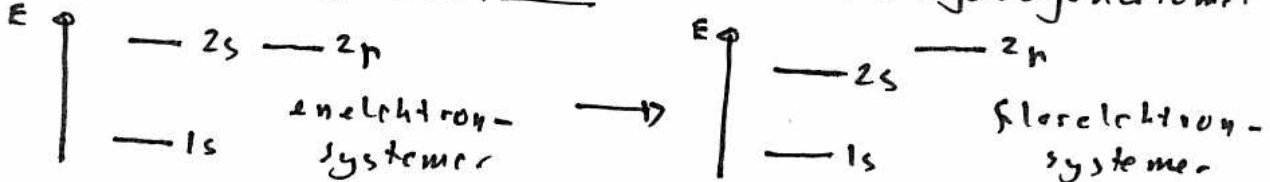
→ Eksklusjonsprinsippet gir materiens struktur: alle elektronene kan ikke gå inni  $1s$ -orbitalen

## Orbitalenergier og skjerming av kjerneladningen

→ I flerelektronatomer tenkes elektronene å okkupere orbitaler av samme struktur som i hydrogenatomet:  
 $1s, 2s, 2p, 3s, \dots$

— Pga større kjerneladning vil de disse orbitalene være mer bunngårde enn i hydrogenatomet

→ Dessuten er degenerasjonen lavere enn i hydrogenatomet



→ Denne splittningen av skallene skyldes skjerming av kjerneladningen:

↳ Et elektron i avstand  $r$  fra kjernen føler

↳ tiltrukning til kjernen med ladning  $Z$

↳ frastadning fra de andre elektronene

— Nettoeffekten er at elektronet føler en effektiv, skjermet kjerneladning -

$$Z_{eff}(r) = Z - \sigma(r)$$

$$Z_{eff}(0) = Z, Z_{eff}(\infty) = 1$$



↳ 2s-elektroner er oftere nær kjernen enn

2p-elektroner og føler den største effektive ladning

$$Z_{eff}^{2s}(r) > Z_{eff}^{2p}(r) \Rightarrow E_{2s} < E_{2p}$$

→ Generelt splittes skallene på følgende måte:

$$\left. \begin{array}{l} 2s < 2p \\ 3s < 3p < 3d \\ 4s < 4p < 3d < 4f \end{array} \right\} \begin{array}{l} \text{høyere angulærmoment} \Rightarrow \\ \text{større avstand til kjernen} \Rightarrow \\ \text{større skjerming} \Rightarrow \text{høyere energi} \end{array}$$

→ Sammenlignes skallene, finner vi (fra beregninger)

$$1s < 2s < 2p < 3s < 3p < 4s < 3d < 4p \dots$$

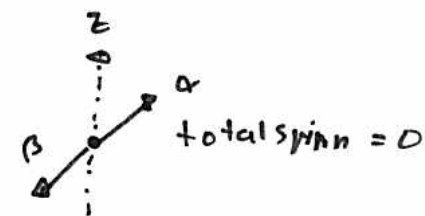
## Heliumatomet: singlett og triplett-tilstader

→ For heliumatomet finner vi følgende energinivåer:

$$E_{1s^2} < E_{1s2s} < E_{1s2p} < \dots$$

→ Det grunnutilstanden er bølgefunktjonen

$$\Psi_{1s^2} = \underbrace{|s(1)s(2)\rangle}_{\text{symmetrisk}} \frac{1}{\sqrt{2}} [\alpha(1)\beta(2) - \beta(1)\alpha(2)] \underbrace{|s(1)s(2)\rangle}_{\text{antisymmetrisk}}$$

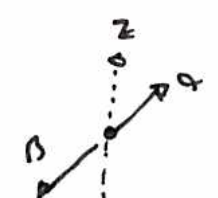


- elektronene har motsatt eller "parret" spinn  $\uparrow\downarrow$

→ For  $1s2s$ -konfigurasjonen har vi følgende muligheter:

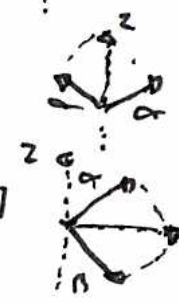
- singlett-tilstand med parret spinn ( $\uparrow\downarrow$ ):

$${}^1\Psi_{1s2s} = \frac{1}{\sqrt{2}} \left[ \underbrace{|s(1)2s(2)\rangle + |s(2)2s(1)\rangle}_{\text{symmetrisk}} \right] \frac{1}{\sqrt{2}} [\alpha(1)\beta(2) - \beta(1)\alpha(2)] \underbrace{|s(1)2s(2)\rangle}_{\text{antisymmetrisk}}$$



- triplett-tilstand med 4 parret spinne ( $\uparrow\downarrow\uparrow\downarrow$ ):

$${}^3\Psi_{1s2s} = \frac{1}{\sqrt{2}} \left[ \underbrace{|s(1)2s(2)\rangle - |s(2)2s(1)\rangle}_{\text{antisymmetrisk}} \right] \begin{cases} \alpha(1)\alpha(2) \\ \frac{1}{\sqrt{2}} [\alpha(1)\beta(2) + \beta(1)\alpha(2)] \\ \beta(1)\beta(2) \end{cases}$$



→ Hvilke av disse tilstandene har lavest energi?

$${}^1\Psi_{1s2s}(r_1 = r_2) \neq 0 \rightarrow \text{elektronene kan være på samme sted}$$

$${}^3\Psi_{1s2s}(r_1 = r_2) = 0 \rightarrow \text{elektronene kan ikke være på samme sted}$$

- i triplett-tilstanden er elektronene lenger fra hverandre, noe som gir lavere energi:  ${}^3E_{1s2s} < {}^1E_{1s2s}$

→ Generelt gjelder Hunds regel:

For et atom i en gitt elektronkonfigurasjon vil den mest stabile tilstand være den som har flest uparrete elektroner.

→ For heliumatomet konkluderer vi derfor:

$$E_{1s^2} < {}^3E_{1s2s} < {}^1E_{1s2s} < E_{1s2p} \dots$$

## Aufbau-prinsippet

→ okkuper orbitalene i rekkefølgen (omtrentlig)

1s 2s 2p 3s 3p 4s 3d ...

i overensstemmelse med Pauli-prinsippet og Hunds regel

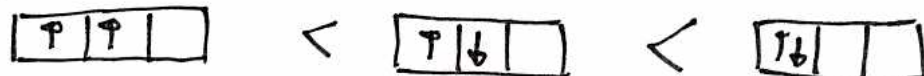
→ i et lukket shall er alle orbitalene dobbelokkupert:

2 elektroner i s-skall	}	4l+2 elektroner
6 elektroner i p-skall		
10 elektroner i d-skall		

→ i et åpent shall er noen orbitaler enkeltokkupert

- for disse gjelder Hunds regel: enkeltokkuper degenererte orbitaler i størst mulig grad, med parallele spinn

- eksempel: for 2 elektroner i et p-skall gjelder



→ Dette gir følgende elektronkonfigurasjoner:

H: 1s                      åpent shall

He: 1s<sup>2</sup>                      lukket shall

Li: 1s<sup>2</sup> 2s                      åpent shall

Be: 1s<sup>2</sup> 2s<sup>2</sup>                      lukket shall

B: 1s<sup>2</sup> 2s<sup>2</sup> 2p<sub>x</sub>                      [1s<sup>2</sup> 2s<sup>2</sup> 2p<sub>x</sub>]

C: 1s<sup>2</sup> 2s<sup>2</sup> 2p<sub>x</sub> 2p<sub>y</sub>                      [1s<sup>2</sup> 2s<sup>2</sup> 2p<sub>x</sub> 2p<sub>y</sub>]

N: 1s<sup>2</sup> 2s<sup>2</sup> 2p<sub>x</sub> 2p<sub>y</sub> 2p<sub>z</sub>                      [1s<sup>2</sup> 2s<sup>2</sup> 2p<sub>x</sub> 2p<sub>y</sub> 2p<sub>z</sub>]

O: 1s<sup>2</sup> 2s<sup>2</sup> 2p<sub>x</sub> 2p<sub>y</sub> 2p<sub>z</sub>                      [1s<sup>2</sup> 2s<sup>2</sup> 2p<sub>x</sub> 2p<sub>y</sub> 2p<sub>z</sub>]

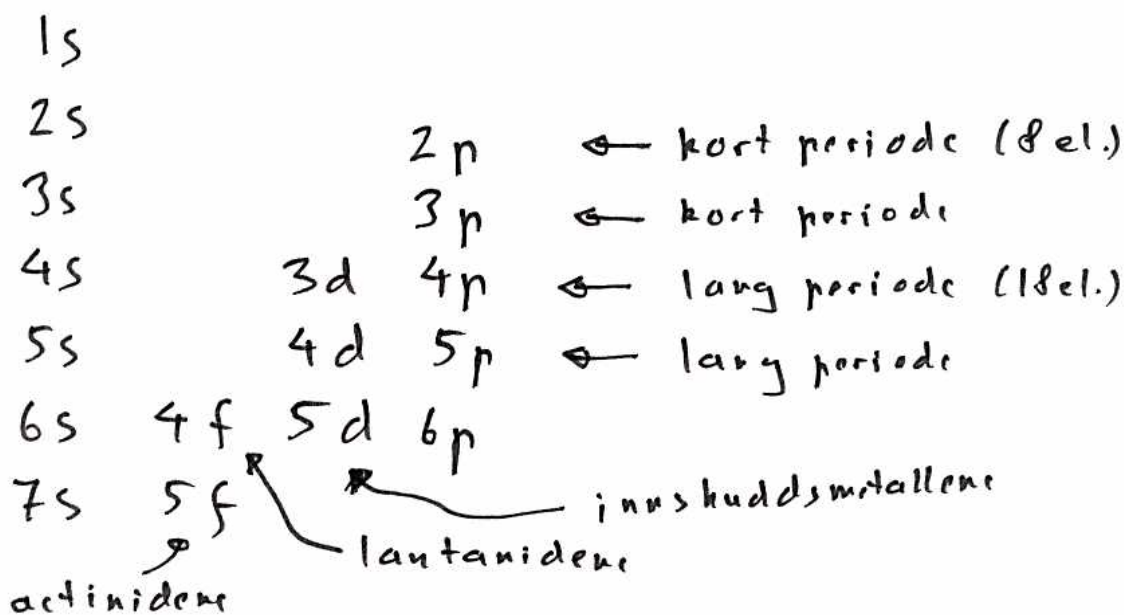
F: 1s<sup>2</sup> 2s<sup>2</sup> 2p<sub>x</sub> 2p<sub>y</sub> 2p<sub>z</sub>                      [1s<sup>2</sup> 2s<sup>2</sup> 2p<sub>x</sub> 2p<sub>y</sub> 2p<sub>z</sub>]

Ne: 1s<sup>2</sup> 2s<sup>2</sup> 2p<sub>6</sub>                      lukket shall

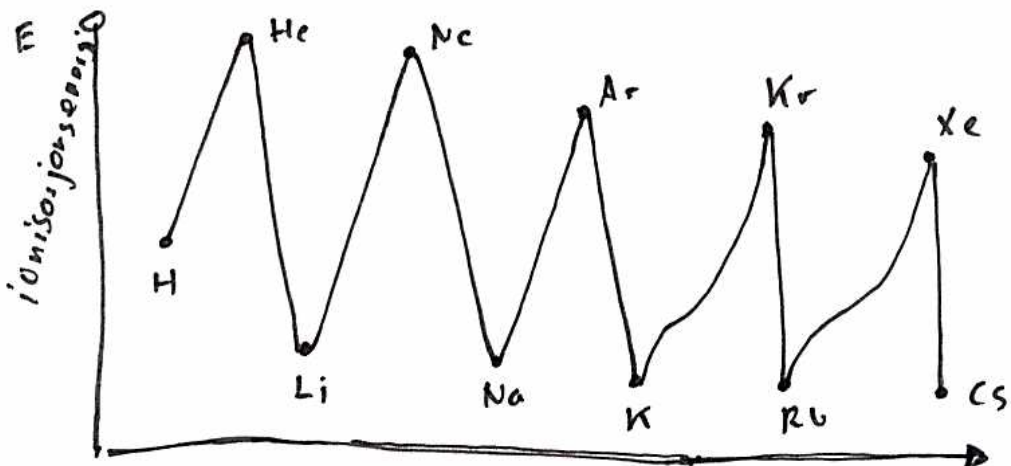
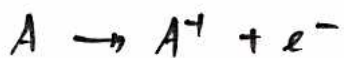
Åpen  
shall

## Det periodiske system

- de kjemiske egenskapene er bestemt av elektronene i det ytterste skallet (valensskallet)
- Ved hjelp av Aufbau-prinsippet kan vi da forutse atomenes (elementenes) periodiske egenskaper



- ionisasjonsenergien er den energien som kreves for å fjerne et elektron fra et nøytralt, isolert atom:



- alkaliimettallene: kjerneladningen er sterkt skjermet av core-elektronene
- edelgassatomene: kjerneladningen blir lite effektivt skjermet av de andre valencelektronene.

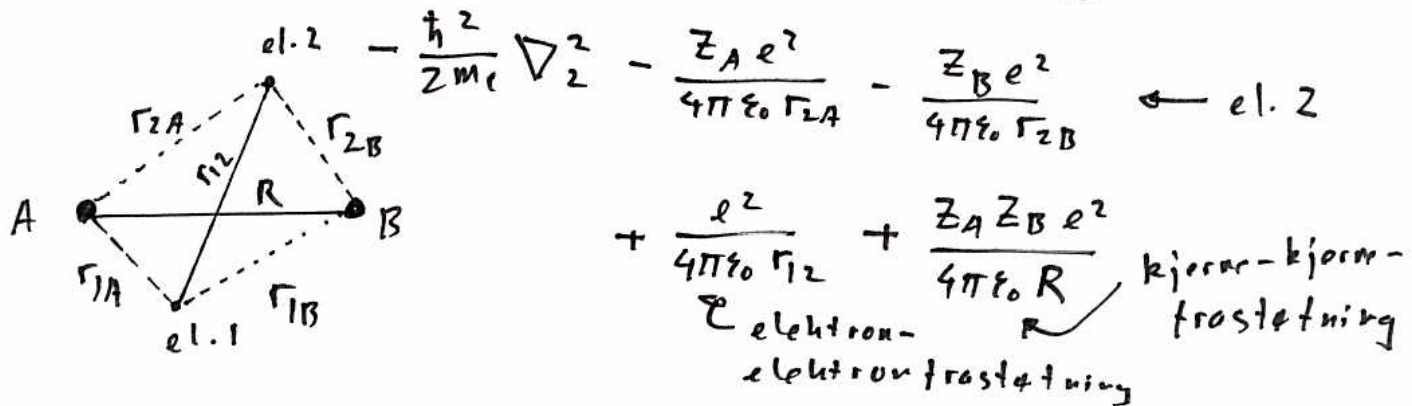
## Kapittel 8: Molekylstruktur

57

### Born-Oppenheimer-approximasjonen og elektroniske valgetfunksjoner

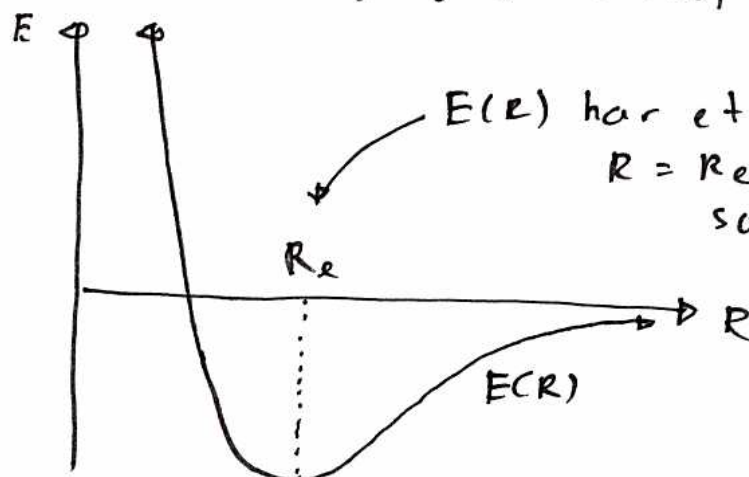
- Molekyler skiller seg fra atomer ved at de har to eller flere kjerner.
- Som i atomer beveger de tunge kjernene seg mye langsommere enn de lette elektronene.
- I Born-Oppenheimer-approximasjonen antar vi at kjernene er stasjonære i forhold til elektronene og bestemmer den elektroniske valgetfunksjonen for fastholdte kjerner.
- Hamilton-operatoren for et system av to elektroner og to fastholdte kjerner A og B, i avstand R fra hverandre:

$$\hat{H}(R) = -\frac{\hbar^2}{2m_e} \nabla_1^2 - \frac{Z_A e^2}{4\pi\epsilon_0 r_{1A}} - \frac{Z_B e^2}{4\pi\epsilon_0 r_{1B}} \quad \leftarrow \text{el. 1}$$



- For hvert verdi av R har vi en ny elektronisk valgetfunksjon og en ny energi:

$$\hat{H}(R) \psi(\vec{r}_1, \vec{r}_2; R) = E(R) \psi(\vec{r}_1, \vec{r}_2; R)$$



$E(R)$  har et minimum for  
 $R = R_e$  (likværtsaavstand),  
som gir et stabilt molekyl

## Mangepartikkelsproblem og variasjonsmetoden

- For flerelktronsystemer (atomer og molekyler) kan vi ikke løse Schrödinger-ligningen eksakt: mangepartikkelsproblem
- For slike mangepartikkelsystemer kan vi kun bestemme tilnærmede (approximative) valgefunksjoner  $\phi$ :

$$\hat{H}\phi \approx E\phi$$

→ Hvordan bestemmes slike valgefunksjoner?

→ Vår ledetråd er variasjonsprinsippet:

- la  $E[\phi]$  være forventningsverdien av energien for valgefunksjonen  $\phi$  (eksakt eller tilnærmet):

$$E[\phi] = \frac{\int \phi^* \hat{H} \phi d\tau}{\int \phi^* \phi d\tau} \quad \begin{matrix} \text{integrerer over hele} \\ \text{rommet for alle elektroner} \end{matrix}$$

- hvis  $\psi_{ex}$  er den eksakte grunnstadsfunksjonen ( $H\psi_{ex} = E_{ex}\psi_{ex}$ ) og  $\phi$  er tilfeldig valgt, så gjelder

$$E[\phi] \geq E[\psi_{ex}] = E_{ex} \quad (\text{eksakt grunnstadsenergi})$$

- likhet gjelder kun når  $\phi = \psi_{ex}$

→ I variasjonsmetoden utnytter vi dette resultatet og sier at  $\psi_a$  er bedre (mer nøyaktig) enn  $\psi_b$  hvis

$$E[\phi_a] < E[\phi_b]$$

→ Mer generelt kan vi bestemme approximative valgefunksjoner ved energioptimering:

$$E_{app} = \min_{\phi} E[\phi] \geq E_{ex}$$

- i praksis minimerer vi over en begrenset klasse av tilnærmede valgefunksjoner  $\phi$ .

## Hartree-Fock-metoden

→ La oss skrive valgefunksjonen som en determinant:

$$\Psi(1,2) = \begin{vmatrix} \varphi_a(1) & \varphi_b(1) \\ \varphi_a(2) & \varphi_b(2) \end{vmatrix} = \varphi_a(1)\varphi_b(2) - \varphi_b(1)\varphi_a(2)$$

der  $\varphi_a$  og  $\varphi_b$  er spinorbitaler (orbitaler med  $\sigma$  eller  $\beta$  spin)

→ En slik valgefunksjon kan aldri være eksakt for (vekselvirkende) elektroner.

→ Den beste determinantaletalgefunksjonen får vi ved å anvende variasjonsmetoden: Vi minimiserer forventningsverdien av energien mhp formen av orbitalene:

$$\min_{\varphi_a, \varphi_b} E[\Psi] = E_{HF} > E_{ex}$$

→ Denne fremgangsmåten gir oss Hartree-Fock-energien og Hartree-Fock-valgefunksjonen

- for de fleste kjemiske systemer (atomer og molekyler) er feilen i HF-energien  $\sim 0.5\%$

→ HF-metoden gir en forenklet beskrivelse av vekselvirkingen mellom elektronene

- hvert elektron beveger seg i det midlere felt av alle andre elektronene
- elektronenes bevegelse er ikke korrektert i forhold til hverandre (utover at Pauliprinsippet er oppfylt)

→ Forkedrede beskrivelser tar hensyn til korrelasjonen mellom elektronene

- slike beregninger er mer kompliserte
- mye høy nøyaktighet kan oppnøys

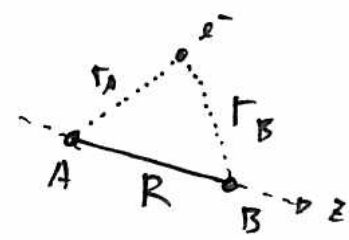
## H<sub>2</sub><sup>+</sup>-molekylget

→ Kun ett elektron - eksakt løsning mulig.

→ Hamilton-operatoren for H<sub>2</sub><sup>+</sup>:

$$\hat{H} = -\frac{\hbar^2}{2m_e} \nabla^2 + V_A + V_B + \frac{e^2}{4\pi\epsilon_0 R}$$

$$V_A = -\frac{e^2}{4\pi\epsilon_0} \frac{1}{r_A} \quad V_B = -\frac{e^2}{4\pi\epsilon_0} \frac{1}{r_B}$$



→ Anta først at kjernene er (uendelig) langt fra hverandre. Potensialet har da formen

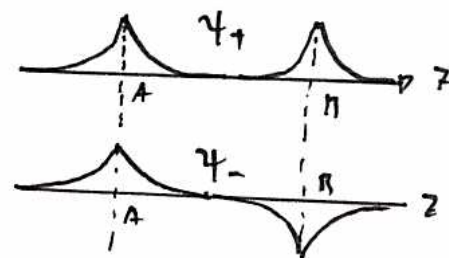


$V_A + V_B$  langs molekylaksen, gjennom kjernene

- elektronet føler enten  $V_A$  eller  $V_B$  (aldri begge)
- valgfunksjonen må ligne  $\pm \Psi_{1s}(A)$  i nærheten av A og  $\pm \Psi_{1s}(B)$  i nærheten av B. Dette kan realiseres på to måter:

$$\Psi_+ = \Psi_{1s}(A) + \Psi_{1s}(B)$$

$$\Psi_- = \Psi_{1s}(A) - \Psi_{1s}(B)$$



- elektronantallet er identisk i de to tilfellene og den samme som i de separerte atomene

$$\Psi_+^2 = \Psi_{1s}^2(A) + 2\Psi_{1s}(A)\Psi_{1s}(B) + \Psi_{1s}^2(B) = \Psi_{1s}^2(A) + \Psi_{1s}^2(B)$$

$$\Psi_-^2 = \Psi_{1s}^2(A) - 2\Psi_{1s}(A)\Psi_{1s}(B) + \Psi_{1s}^2(B) = \Psi_{1s}^2(A) + \Psi_{1s}^2(B)$$

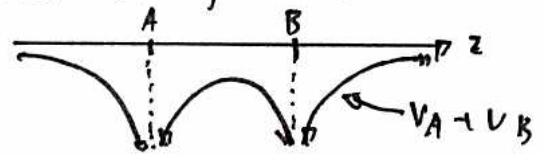
da  $\Psi_{1s}(A)\Psi_{1s}(B) = 0$  (stor avstand mellom A og B)

- de to orbitalene  $\Psi_+$  og  $\Psi_-$  har derfor <sup>begge</sup> samme energi; som  $\Psi_{1s}$  i atomene:

$$\hat{H}\Psi_{\pm} = E_{1s}\Psi_{\pm} \leftarrow \text{degenererte}$$

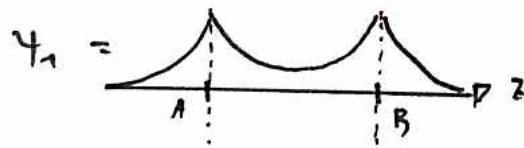
## H<sub>2</sub><sup>+</sup>-molekylet (forts.)

→ Anta nå at kjernene er nær hverandre

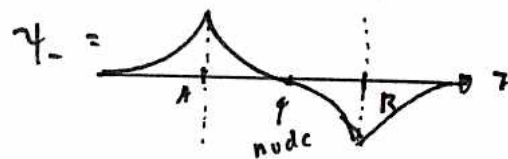


elektronet vil nå følge V<sub>A</sub> + V<sub>B</sub> samtidig.

→  $\psi_+$  og  $\psi_-$  har nå ulik tetthet



$$\psi_+^2 = \psi_{1s}^2(A) + \psi_{1s}^2(B) + 2\psi_{1s}(A)\psi_{1s}(B) \quad \text{positivt overlapp}$$

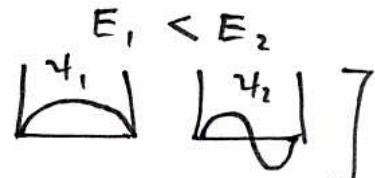


$$\psi_-^2 = \psi_{1s}^2(A) + \psi_{1s}^2(B) - 2\psi_{1s}(A)\psi_{1s}(B) \quad \text{negativt overlapp}$$

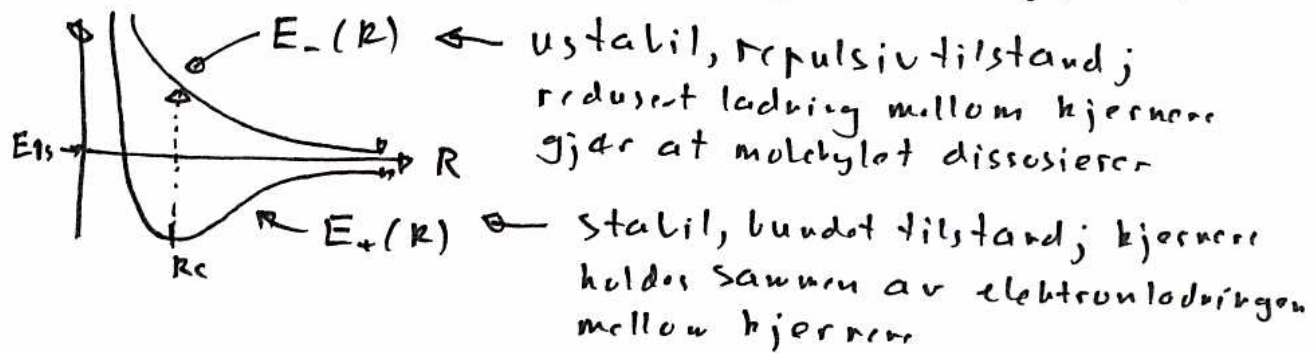
- $\psi_+$  har nå økt tettet mellom kjernene pga positivt overlapp (konstruktiv interfersjon)
- $\psi_-$  har derimot redusert tettet mellom kjernene pga negativt overlapp (destruktiv interfersjon) med node

→ Orbitalene er ikke lenger degenererte

$$E_+ < E_{1s} < E_- \quad [\text{smt. part. i boks}]$$



→ Hvis vi plottet E<sub>+</sub> og E<sub>-</sub> som funksjoner av R, får vi:



→  $\psi_+$  kalles en binderende orbital (lavere energi enn  $\psi_{1s}$ )

$\psi_-$  kalles en antibinderende orbital (høyere energi enn  $\psi_{1s}$ )

→ Ved å sende inn et foton, kan vi eksitere molekylet fra  $\psi_+$  til  $\psi_-$ . Molekylet faller da fra hverandre.

Dette kalles fotodissosiasjon (bindingsbrudd ved bestreling)

## Homonukleære diatomer

- Overgangen fra  $H_2^+$  (ett elektron) til  $H_2$  og andre homonukleære diatomer som  $N_2$  og  $O_2$  (flere elektroner) er den samme som overgangen fra hydrogenatomet (ett elektron) til lyngre atomer (flere elektroner)
- Vi anvender orbitalapproksimasjonen og okkuperer  $H_2^+$ -lignende orbitaler i stigende energetisk rekkefølge, med inntil to elektroner i hver orbital i henhold til Pauli-prinsippet og Hunds regel.
- For atomene ga denne framgangsmåten (Aufbau-prinsippet) en forklaring på elementenes periodisitet (spesielt ionisasjonsenergien) ved å betrakte okkupasjonen av valensskallet.
- For diatomene er det viktigste spørsmålet vi kan stille oss om de er stabile eller ustabile - dvs. er energien av et diatom lavere eller høyere enn energien av de tilsvarende separate atomene?
  - hvorfor dannes ikke edelgassatomene stabile muldyler?
  - hvorfor er  $N_2$  mer stabilt enn  $O_2$ ?
  - hvorfor har  $O_2$  et magnetisk moment og ikke  $N_2$ ?
- For å kunne besvare disse spørsmålene må vi først vite noe om strukturen og energien av orbitalene i homonukleære diatomer.

## Orbitaler i homonukleære diatomer

→ I vår diskusjon av  $\text{H}_2^+$  bruket vi to orbitaler:

$$\Psi_{\pm} = 1s_A \pm 1s_B$$

→ I virkeligheten eksisterer det uendelig mange  $\text{H}_2^+$ -orbitaler, svarende til ulik eksistente tilstander av  $\text{H}_2^+$ -situasjonen er den samme som i H-atomet:  
 $1s, 2s, 2p, 3s, 3p, 3d, \dots$

→ Den enkleste måten å tenke seg  $\text{H}_2^+$ -orbitaler på er som lineær kombinasjoner av atomorbitaler (AOer)

$$\Psi_+ = 1s_A + 1s_B \quad \text{hvert par av (like) AOer dannar}$$

$$\Psi_- = 1s_A - 1s_B \quad \text{to moltskytaklitaler (MOer)}$$

— linear combination of atomic orbitals (LCAO)

→ Den eksakte formen av orbitalene i  $\text{H}_2^+$  er mer kompleks, men strukturen og den generelle formen er gitt ved slittre enkle lineærkombinasjoner

→ Akkurat som for H-atomet brygges en spesiell notasjon for moltskytaklitalene i  $\text{H}_2^+$ , for klassifisering med hensyn på:

g) angulermomentet om moltskytaklitasen

$$L_z = m_s \hbar, m_s = 0, \pm 1, \pm 2, \dots$$

	$\Gamma$	$\Pi$	$\Delta$
$1s_{el}$	0	1	2

↳ inversionssymetri (paritet)

$$\psi(-r) = \psi(r): \text{gorade (g)}$$

$$\psi(-r) = -\psi(r): \text{ungorade (u)}$$

↳ energi i forhold til tilsvarende AOer:

bindende MO: lavere enn for AOer

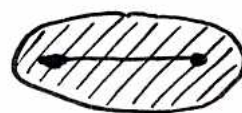
antibindende MO: høyere enn for AOer

(angitt med asterisk)

## SG-orbitaler

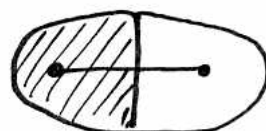
→ Fra 1s- og 2s-orbitalene kan vi lage følgende MOer:

$$1S\sigma_g = 1S_A + 1S_B$$



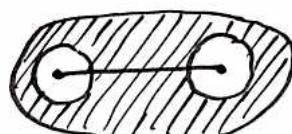
bindende  
- ingen noder

$$1S\sigma_u^* = 1S_A - 1S_B$$



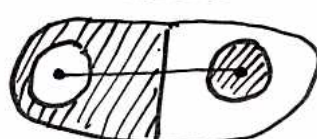
antibindende  
- nodeplan normalt  
nå bindingen

$$2S\sigma_g = 2S_A + 2S_B$$



bindende  
- intet nodeplan

$$2S\sigma_u^* = 2S_A - 2S_B$$



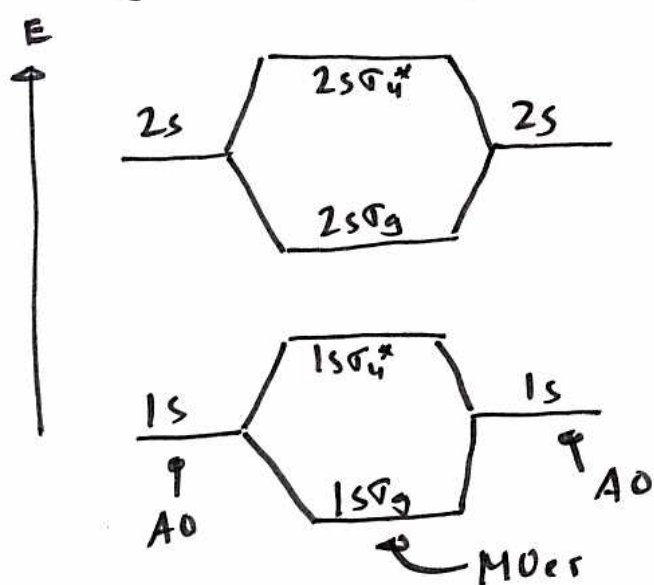
antibindende  
- nodeplan

→ Energirekkefølgen er gitt ved

$$1S\sigma_g < 1S_A = 1S_B < 1S\sigma_u^* < 2S\sigma_g < 2S_A = 2S_B < 2S\sigma_u^*$$

men avhenger av bindingsavstanden

→ Disse forholdene illustreres gjerne ved hjelp av et molekylorbital energinivådiagram:



← diagrammet illustrerer  
degenerasjonen av  
1s-orbitalene og av 2s-  
orbitalene ved uendelig  
avstand (separerte atomer)  
og splittingen (hvergent)  
av disse degenerasjonene  
ved endelig avstand

→ Energinivåene påvirkes av flere faktorer:

- hjerneladning
- bindingsavstand
- antall elektroner (i et fleselektronsystem)

## $2p\sigma$ - og $2\pi$ -orbitaler

→ Vi må skille mellom p-orbitaler som ligg parallelt med molekylaksen (z-aksen) og som står normalt på den:

$$2p_z = 2p_0 \rightarrow \text{parallelt med z-aksen}, m_l = 0$$

$$\begin{aligned} 2p_x &= \frac{1}{2}(2p_+ + 2p_-) \\ 2p_y &= \frac{1}{2i}(2p_+ - 2p_-) \end{aligned} \quad \left. \begin{array}{l} \text{står normalt på z-aksen} \\ m_s = \pm 1 \end{array} \right.$$

→  $2p_z$ -orbitalene kan kombineres på følgende måte:

$$2p_{\sigma g} = 2p_{zA} - 2p_{zB}$$



bindende

$$2p_{\sigma u}^* = 2p_{zA} + 2p_{zB}$$



antibindende

- bærekraftsogn

- angulermomentet om molekylaksen er null ( $\tau$ )

→  $2p_x$ - og  $2p_y$ -orbitalene kan kombineres slik:

$$2p_x\pi_u = 2p_{xA} + 2p_{xB}$$



bindende

$$2p_x\pi_g^* = 2p_{xA} - 2p_{xB}$$



antibindende

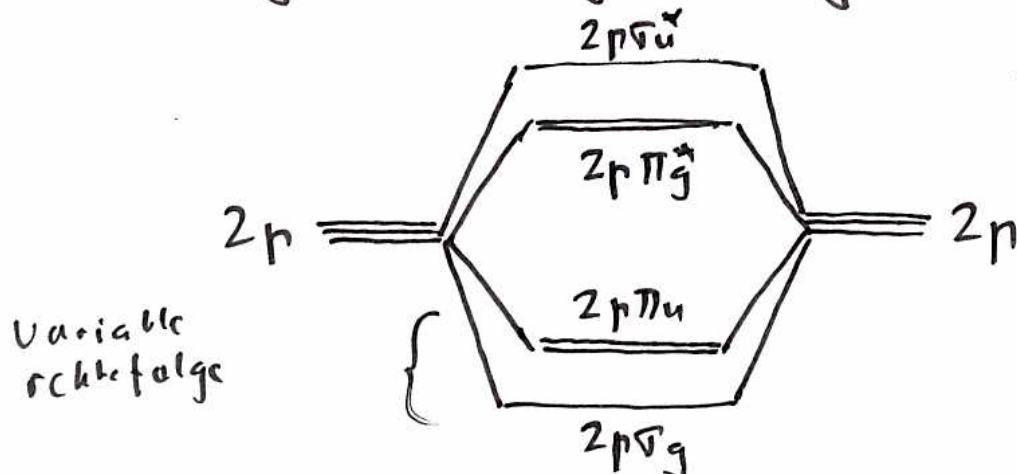
- tilsvarende for  $2p_y$

- da  $2p_x$  og  $2p_y$  er degenererte, skriver vi også

$$2p\pi_u \text{ og } 2p\pi_g^*$$

- angulermomentet om z-aksen er  $\pm \frac{1}{2}$  ( $\pi$ )

→ Molekylorbitalenerginivådiagram

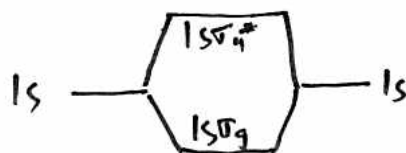
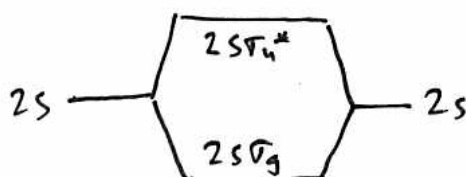
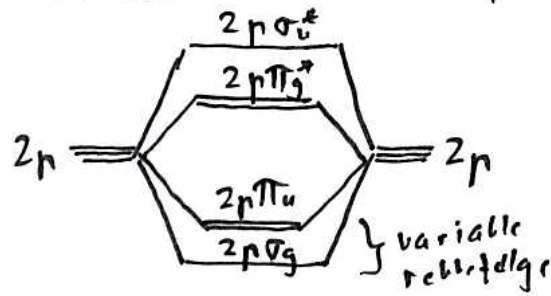


→ fra  $2 \times 3 = 6$  AOs  
dannes det  
 $1 + 2 + 2 + 1 = 6$  MOer

→ degenerasjonen  
er løvet i et  
diatom egn i  
et atom pga  
lavere symmetri

## Homonukleære diatomer

→ Vi anvender nå Aufbau-prinsippet på homonukleære diatomer



→ vi definerer bindingsordenen som

$$b = \frac{1}{2} (n - n^*)$$

dvs.  $n$  = antall elektroner i bind. orbital  
 $n^*$  = antall elektroner i antibind. orbital

$$b = 1 \leftarrow \text{enkel binding}$$

$$b = 2 \leftarrow \text{dobbel binding}$$

$$b = 3 \leftarrow \text{trippel binding}$$

→ vi skiller også mellom dia- og paramagnetiske molekyls:

diamagnetisk: alle elektroner parret

paramagnetisk: noen elektroner ikke parret

	elektronkonfigurasjon	b	R <sub>e</sub> (pm)	magnetismus
H <sub>2</sub>	1sσ <sub>g</sub> <sup>2</sup>	1	74	dia
He <sub>2</sub>	1sσ <sub>g</sub> <sup>2</sup> 1sσ <sub>u</sub> <sup>2</sup>	0	∞	dia ← ustabilitt
Li <sub>2</sub>	[He <sub>2</sub> ] 2sσ <sub>g</sub> <sup>2</sup>	1	267	dia
B <sub>2</sub>	[He <sub>2</sub> ] 2sσ <sub>g</sub> <sup>2</sup> 2sσ <sub>u</sub> <sup>2</sup>	0	∞	dia ← ustabilitt
B <sub>2</sub>	[Be <sub>2</sub> ] 2pπ <sub>u</sub> <sup>2</sup>	1	159	para
C <sub>2</sub>	[Be <sub>2</sub> ] 2pπ <sub>u</sub> <sup>4</sup>	2	124	dia
N <sub>2</sub>	[Be <sub>2</sub> ] 2pπ <sub>u</sub> <sup>4</sup> 2pσ <sub>g</sub> <sup>2</sup>	3	109	dia ← <u>most stabilt</u>
O <sub>2</sub>	[Be <sub>2</sub> ] 2pσ <sub>g</sub> <sup>2</sup> 2pπ <sub>u</sub> <sup>4</sup> 2pπ <sub>g</sub> <sup>2</sup>	2	121	para
F <sub>2</sub>	[Be <sub>2</sub> ] 2pσ <sub>g</sub> <sup>2</sup> 2pπ <sub>u</sub> <sup>4</sup> 2pπ <sub>g</sub> <sup>4</sup>	1	144	dia
Ne <sub>2</sub>	[Be <sub>2</sub> ] 2pσ <sub>g</sub> <sup>2</sup> 2pπ <sub>u</sub> <sup>4</sup> 2pπ <sub>g</sub> <sup>4</sup> 2pσ <sub>u</sub> <sup>2</sup>	0	∞	dia ← ustabilitt

→ alle molekyls unntatt He<sub>2</sub>, Be<sub>2</sub>, og Ne<sub>2</sub> er stabile, i overensstemmelse med eksperiment.

→ He<sub>2</sub> (helium-dimer) er litet observert, men er ikke funnet på klassisk kjemisk måte

→ B<sub>2</sub> og O<sub>2</sub> er paramagnetiske – uparrette elektroner gir opphav til et magnetisk moment

→ N<sub>2</sub> er det mest stabile diatom (trippelbinding) og har meget kort bindingslengde R<sub>e</sub> = 109 pm

## Anvendelse av variasjonsmetoden

→ Anta at vi ønsker å bestemme den beste  
vælgefunksjonen av formen

$$\psi = c_1 \psi_1 + c_2 \psi_2$$

der  $\psi_1$  og  $\psi_2$  er kjente funksjoner og der  
 $c_1$  og  $c_2$  er ukjente koeffisienter

→ Ifølge variasjonsprinsippet får vi den beste  
vælgefunksjonen ved å minimere

$$E(c_1, c_2) = \frac{\int (c_1 \psi_1 + c_2 \psi_2) \tilde{H} (c_1 \psi_1 + c_2 \psi_2) d\tau}{\int (c_1 \psi_1 + c_2 \psi_2)^2 d\tau}$$

med hensyn på  $c_1$  og  $c_2$ . (Antar reelle størrelser.)

→ Vi innfører notasjonen

$$H_{ij} = \int \psi_i \tilde{H} \psi_j d\tau \quad \leftarrow \text{Hamilton-integraler}$$

$$S_{ij} = \int \psi_i \psi_j d\tau \quad \leftarrow \text{overlapp-integraler}$$

og kan da skrive

$$E(c_1, c_2) = \frac{c_1^2 H_{11} + 2 c_1 c_2 H_{12} + c_2^2 H_{22}}{c_1^2 S_{11} + 2 c_1 c_2 S_{12} + c_2^2 S_{22}}$$

der vi har benyttet at  $S_{12} = S_{21}$  og at  
 $H_{12} = H_{21}$  (kan vises).

→ For å finne minimum av  $E(c_1, c_2)$  setter  
vi gradientein lik null:

$$\frac{\partial E(c_1, c_2)}{\partial c_1} = 0 \quad \& \quad \frac{\partial E(c_1, c_2)}{\partial c_2} = 0$$

→ Etter litt algebra finner vi da følgende to ligninger:

$$H_{11}c_1 + H_{12}c_2 = E(S_{11}c_1 + S_{12}c_2)$$

$$H_{21}c_1 + H_{22}c_2 = E(S_{21}c_1 + S_{22}c_2)$$

Dette er sekulær ligningene, hvis løsning gir belgefunktjonen ( $c_1$  og  $c_2$ ) samt energien  $E$ .

→ Sekulær ligningene kan skrives på matrisform:

$$\begin{pmatrix} H_{11} & H_{12} \\ H_{21} & H_{22} \end{pmatrix} \begin{pmatrix} c_1 \\ c_2 \end{pmatrix} = E \begin{pmatrix} S_{11} & S_{12} \\ S_{21} & S_{22} \end{pmatrix} \begin{pmatrix} c_1 \\ c_2 \end{pmatrix}$$

→ Hvis vi innfører matrisenotasjonen

$$H = \begin{pmatrix} H_{11} & H_{12} \\ H_{21} & H_{22} \end{pmatrix} \quad \leftarrow \text{Hamilton-matrisen}$$

$$S = \begin{pmatrix} S_{11} & S_{12} \\ S_{21} & S_{22} \end{pmatrix} \quad \leftarrow \text{Overlapp-matrisen}$$

$$C = \begin{pmatrix} c_1 \\ c_2 \end{pmatrix} \quad \leftarrow \begin{array}{l} \text{eksplansjonskoeffisienter} \\ (\text{belgefunktjon}) \end{array}$$

Kan vi skrive sekulær ligningene på følgende kortre form:

$$HC = E SC \quad \leftarrow \begin{array}{l} \text{gjelder for vilkårlig} \\ \text{mange koeffisienter} \end{array}$$

Bemerk: dette er et generalisert egenværdiproblem, som kan løses med generelle metoder i lineær algebra

## Løsning av sekulerligningene

→ Sekulerligningene kan skrives på formen

$$(H - ES)\psi = 0$$

→ Vi ønsker løsninger der  $\psi \neq 0$ . Slike løsninger eksister kun dersom determinanten av  $H - ES$  forsvinner:

$$\det(H - ES) = 0$$

→ For to ukjente gir dette kravet

$$\begin{vmatrix} H_{11} - ES_{11} & H_{12} - ES_{12} \\ H_{21} - ES_{21} & H_{22} - ES_{22} \end{vmatrix} = 0$$

som kan utspandres som

$$(H_{11} - ES_{11})(H_{22} - ES_{22}) - (H_{12} - ES_{12})^2 = 0$$

Dette er en annengradslikning med to løsninger.

→ Hvis vi antar at

$$S_{11} = S_{22} = 1 \quad \& \quad S_{12} = S_{21} = 0$$

(som ofte gjelder), kan disse løsningene skrives på formen

$$E_{\pm} = \frac{1}{2}(H_{11} + H_{22}) \mp \sqrt{4H_{12}^2 + (H_{11} - H_{22})^2}$$

Av de to løsningene svarer  $E_+$  til et minimum og  $E_-$  til et maksimum. Vi tolker derfor  $E_+$  som grunntilstandsenergien og  $E_-$  som energien av en eksistert tilstand.

→ Straaks vi har bestemt energiene  $E_+$  og  $E_-$ , kan vi sette disse inn i sekulærlikningene (en av gangen) og finne de tilsvarende koeffisientene:

$$H \psi_{\pm} = E_{\pm} \psi_{\pm}$$

→ Vi har dermed bestemt to bølgefunktjoner  $\psi_{\pm} = C_{1\pm} \psi_1 + C_{2\pm} \psi_2$  med tilhørende energier  $E_{\pm}$ .

→ Generelt vil løsningen av sekulærlikningene

$$H \psi = E \psi$$

ha  $n$  løsninger, der  $n$  er antall koeffisienter i bølgefunktjonen:

$$\psi = \sum_{i=1}^n c_i \psi_i$$

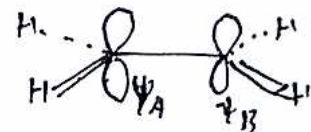
Disse løsningene representerer grunnstaden og  $(n-1)$  eksitede tilstander.

→ Sekulærlikningene kan bestemmes med standard lineær algebraverktøy på regnmashiner, med over en milliard ulikente koeffisienter  $c_i$ .

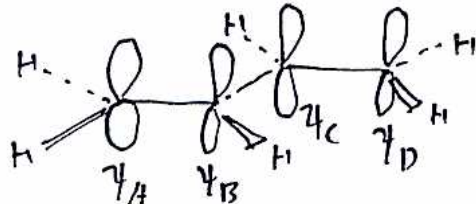
## Hückel-teori

- For generelle molekyler er bestemmelser av MOer komplisert og kan kun gjennomføres via regnemaskiner.
- På 30-tallet utviklet Hückel en forenklet metode til bestemmelse av MOer, spesielt egnet til bestemmelse av  $\pi$ -orbitaler i konjugerte molekyler, dvs. molekyler med alternérende enkelt- og dobbeltbindinger.
- I konjugerte molekyler tenker vi oss at de lokaliserete  $\sigma$ -orbitalene bestemmer molekylenes generelle struktur, mens de delokaliserte  $\pi$ -orbitalene (som har høyere energi) bestemmer molekylenes kjemiske egenskaper.
- I Hückel-teori behandler vi kun  $\pi$ -elektron-systemet, som vi antar ikke vekslervirker med  $\sigma$ -elektron-systemet.
- $\pi$ -orbitalene skrives som lineær kombinasjoner av  $2p$ -orbitaler normalt på moleylplanet.

eten:  $\psi = c_A \psi_A + c_B \psi_B$



butadien:  $\psi = c_A \psi_A + c_B \psi_B + c_C \psi_C + c_D \psi_D$



→ Hvis vi anvender variasjonsmetoden på  $\pi$ -elektron-systemene i eten og butadien, får vi følgende ligninger til å bestemme energien:

$$\left| \begin{array}{cc} H_{AA} - ES_{AA} & H_{AB} - ES_{AB} \\ H_{BA} - ES_{BA} & H_{BB} - ES_{BB} \end{array} \right| = 0 \quad \leftarrow 2.\text{gradsligning}$$

skulordeterminanter

$$\left| \begin{array}{cccc} H_{AA} - ES_{AA} & H_{AB} - ES_{AB} & \dots & H_{AD} - ES_{AD} \\ H_{BA} - ES_{BA} & H_{BB} - ES_{BB} & \dots & H_{BD} - ES_{BD} \\ \vdots & \vdots & & \vdots \\ H_{DA} - ES_{DA} & H_{DB} - ES_{DB} & \dots & H_{DD} - ES_{DD} \end{array} \right| = 0 \quad \leftarrow 4.\text{gradsligning}$$

→ Notasjon:

$H_{AA}, H_{BB}, H_{CC}, H_{DD} \leftarrow \underline{\text{Coulomb-integraler}}$

$H_{AB}, H_{AC}, H_{AD}, \dots H_{CD} \leftarrow \underline{\text{exchange- eller resonansintegraler}}$

$S_{AA}, S_{AB}, S_{AC}, \dots S_{DD} \leftarrow \underline{\text{overlapp-integrale}}$

→ I hydrokarboner er alle Coulomb-integralene identiske

$$H_{AA} = H_{BB} = H_{CC} = H_{DD} = \alpha < 0$$

→ I Hückel-teori gjør vi dessuten følgende forenklinger:

- alle resonansintegraler mellom nabootomer settes lik hverandre:

$$H_{AB} = H_{BC} = H_{CD} = \beta < 0$$

- alle andre resonansintegraler settes lik null:

$$H_{AC} = H_{AD} = H_{BD} = 0$$

- vi antar ortonormale  $2p$ -orbitaler, dvs:

$$S_{AA} = S_{BB} = S_{CC} = S_{DD} = 1$$

$$S_{AB} = S_{AC} = S_{AD} = \dots = S_{CD} = 0$$

→ Med disse antagelsene, forenkles Schrödinger-determinantene betraktelig, og vi får følgende energiligninger:

$$\begin{vmatrix} \alpha - E & \beta \\ \beta & \alpha - E \end{vmatrix} = 0 \quad \leftarrow \text{et en}$$

$$\begin{vmatrix} \alpha - E & \beta & 0 & 0 \\ \beta & \alpha - E & \beta & 0 \\ 0 & \beta & \alpha - E & \beta \\ 0 & 0 & \beta & \alpha - E \end{vmatrix} = 0 \quad \leftarrow \text{utadien}$$

→ Hückel-antagelsene er grove, men de gir oss en enkel og god modell for  $\pi$ -elektronene og deres orbitaler.

→ Løsing av energiligningen for etenmolebytet gir ne:

$$\begin{vmatrix} \alpha - E & \beta \\ \beta & \alpha - E \end{vmatrix} = 0 \Rightarrow (\alpha - E)^2 - \beta^2 = 0 \\ \Rightarrow E = \alpha \pm \beta$$

→ For å beskrive orbitalenes form, må vi gjøre tilnærking til Schrödingerligningene:

$$H\psi = E\psi \Rightarrow \begin{bmatrix} \alpha & \beta \\ \beta & \alpha \end{bmatrix} \begin{bmatrix} c_1 \\ c_2 \end{bmatrix} = (\alpha \pm \beta) \begin{bmatrix} 1 & 0 \\ 0 & 1 \end{bmatrix} \begin{bmatrix} c_1 \\ c_2 \end{bmatrix}$$

$$\Rightarrow \alpha c_1 + \beta c_2 = (\alpha \pm \beta) c_1 \Rightarrow \beta c_2 = \pm \beta c_1 \Rightarrow c_2 = \pm c_1 \\ \beta c_1 + \alpha c_2 = (\alpha \pm \beta) c_2 \Rightarrow \beta c_1 = \pm \beta c_2 \Rightarrow c_1 = \pm c_2$$

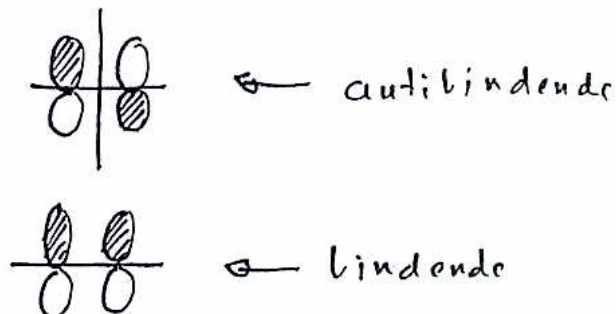
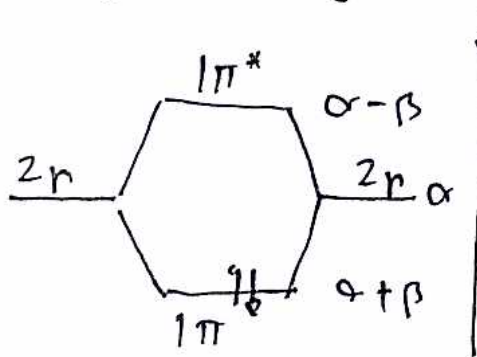
→ Hvis vi vilkårlig setter  $c_1 = 1$ , får vi følgende orbitaler:

$$\psi_+ = \psi_A + \psi_B, \quad E_+ = \alpha + \beta \quad \leftarrow \text{bindende}$$

$$\psi_- = \psi_A - \psi_B, \quad E_- = \alpha - \beta \quad \leftarrow \text{antibindende}$$

Husk: da  $\alpha < 0$  og  $\beta < 0$ , har vi at  $E_+ < E_-$

→ Energinivådiagram og orbitaler for eten:



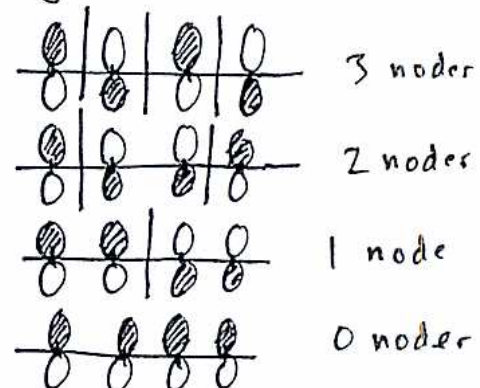
→ Hva t karbonatom bidrar med ett  $\pi$ -elektron

- begge elektronene går da i  $1\pi^*$ -orbitalen
- $\pi$ -elektronbindingsenergien er da gitt ved

$$E_{\pi} = 2\alpha + 2\beta$$

→ For butadien gir Hückel-teori følgende beskrivelse:

$$\begin{aligned} 4\pi^* & \alpha - \frac{1}{2}(15+1)\beta = \alpha - 1.62\beta \\ 3\pi^* & \alpha - \frac{1}{2}(15-1)\beta = \alpha - 0.62\beta \\ 2\pi & \alpha + \frac{1}{2}(15-1)\beta = \alpha + 0.62\beta \\ 1\pi & \alpha + \frac{1}{2}(15+1)\beta = \alpha + 1.62\beta \end{aligned}$$



- $\pi$ -elektron energien er nå

$$E_{\pi} = 4\alpha + 2\sqrt{5}\beta$$

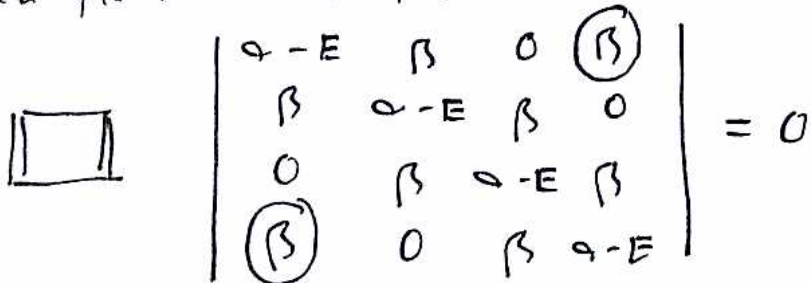
- Er denne energien lavere eller høyere enn energien av to separate etenmolekyler?

$$\varepsilon = E_{\pi} - 2E_{\pi}(\text{eten}) = \underline{\text{delokaliseringsenergien}}$$

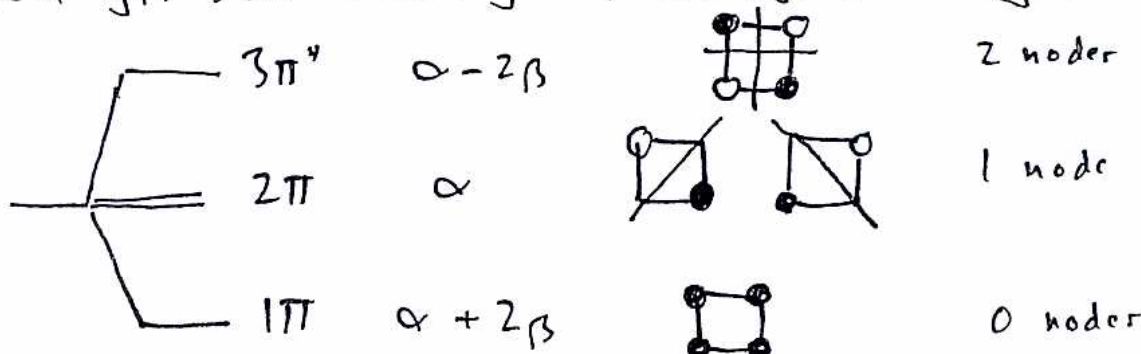
$$= 4\alpha + 2\sqrt{5}\beta - 2(2\alpha + 2\beta) = 2(\sqrt{5}-2)\beta = 0.47\beta$$

- Da  $\varepsilon = 0.47\beta < 0$  sier vi at butadienmolekylet er stabilisert ved konjugasjon (resonans).

→ I syklobutadien har vi også to dobbeltbindinger, men flere nabokomos:



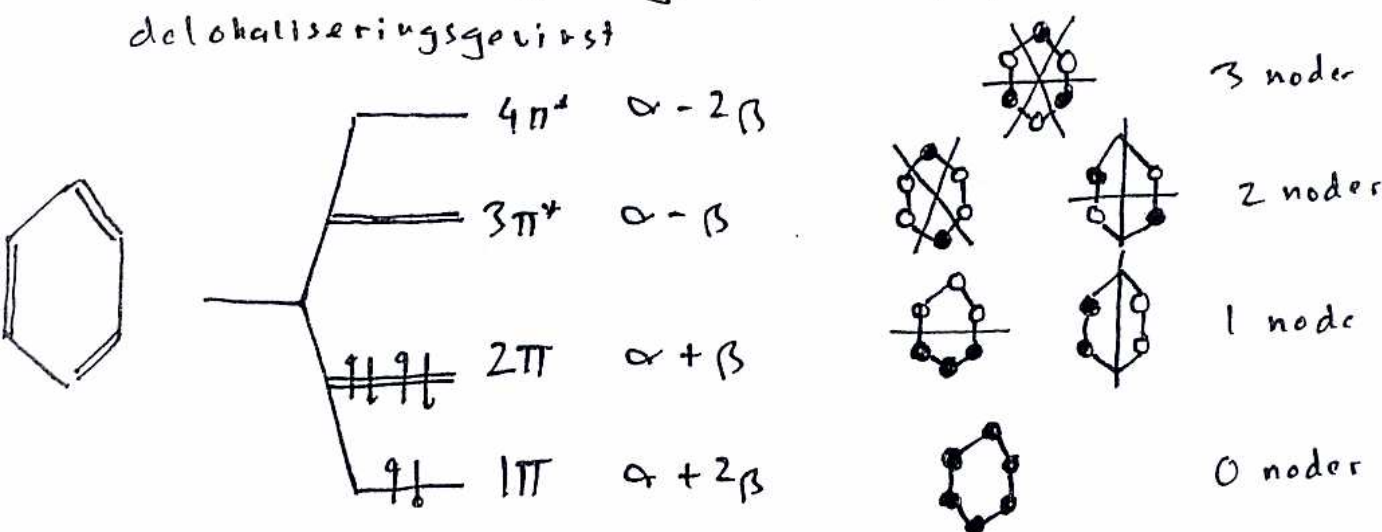
— bemerk  $\beta$  nederst til venstre og øverst til høyre, som gir store endringer i energinivådiagrammet:



— vi har nå ingen delokaliseringsevirkest:

$$E_{\pi} = 4\alpha + 4\beta = 2E_{\pi}(\text{eten}), \varepsilon = 0$$

→ For benzen-molekylet gir i midlertid Hückel-teori stor delokaliseringsevirkest



—  $\pi$ -elektronenergien:

$$E_{\pi} = 6\alpha + 6\beta$$

— delokaliseringsevirkest:

$$\varepsilon = E_{\pi} - 3E_{\pi}(\text{eten}) = 2\beta$$

— aromatisitet:  $4n+2$ -regelen